

# CIBLES SOUNOUN, SB ET SEB AVANCÉES PAR LES DERNIERS FORAGES

**Predictive Discovery Limited (ASX:PDI) (« PDI » ou la « Société »)** a le plaisir de communiquer d'autres résultats de forage régionaux proches des ressources du projet aurifère de 5,38 Moz<sup>1</sup> de Bankan en Guinée. La campagne d'exploration régionale vise à découvrir d'autres gisements d'or commercial et se concentre actuellement sur la zone d'Argo, à 15-20 km au nord des gisements NEB et BC. L'exploration à proximité de la ressource vise à découvrir des gisements supplémentaires proches de NEB et BC, ce qui peut améliorer une opération centrée sur ces gisements. Les résultats rapportés dans cette annonce proviennent de 131 trous pour 9 355 m, le forage continuant sur une base axée sur les résultats.

## FAITS SAILLANTS

- La circulation inverse (« RC ») et le forage aircore (« AC ») à Sounsoun (cible Argo) ont recoupé jusqu'à présent quatre structures minéralisées sur une longueur de frappe de 700 m. Les meilleurs nouveaux résultats comprennent **2 m à 7,76 g/t** à partir de 38 m, **6 m à 2,11 g/t** à partir de 11 m, **6 m à 1,62 g/t** à partir de 158 m et **6 m à 1,54 g/t** à partir de 20 m. Le forage continuera de s'étendre au sud-ouest pour tester l'étendue complète de l'anomalie de tarière de 1,8 km.
- Interception AC prometteuse de **6 m à 1,55 g/t** à partir de 36 m à une nouvelle anomalie de tarière sur la tendance Argo Sud, avec des résultats supplémentaires en attente.
- Le forage à proximité des ressources donne des résultats plus positifs, en particulier aux cibles de South Bankan (« SB ») et de South East Bankan (« SEB ») situées à environ 1 km au sud de NEB. Les meilleures nouvelles interceptions sont les suivantes :
  - SB : **3 m à 8,28 g/t** à partir de 2,8 m, **7 m à 1,51 g/t** à partir de 19 m, **9 m à 1,38 g/t** à partir de 244 m et **8 m à 1,12 g/t** à partir de 195 m.
  - SEB : **2,9 m à 14,50 g/t** à partir de 194 m.
  - BC North : **1 m à 21,00 g/t** à partir de 29 m.
- Les forages à Bankan ont été temporairement interrompus en raison de pénuries de carburant suite à un incendie dans la principale installation de stockage de carburant de Guinée à la mi-décembre. Les forages ont récemment repris et toutes les plateformes sont désormais pleinement opérationnelles.
- Les programmes de forage continueront de cibler les perspectives les plus prometteuses d'Argo et de quasi-ressources sur une base axée sur les résultats.

Commentant les résultats, le directeur général Andrew Pardey a déclaré :

<sup>1</sup> Reportez-vous à la Déclaration de conformité fournie à la fin de cette annonce.

« PDI continue de faire de solides progrès sur de nombreuses cibles régionales d'Argo et des cibles à proximité de la ressource, qui sont l'objectif actuel de nos programmes d'exploration et de forage. »

« Sounsoun est une cible prioritaire chez Argo en raison de sa taille et de sa prospection, et les derniers résultats ont intercepté des structures minéralisées supplémentaires et étendu la longueur d'axe de la minéralisation connue à 700 m. Fait intéressant, seule une petite partie de l'anomalie de tarière de 1,8 km a été testée par forage jusqu'à présent. Sounsoun rejoint désormais Fouwagbe en tant que l'une des perspectives les plus prometteuses d'Argo. »

« Les cibles SB et SEB au sud de NEB ont donné des résultats plus positifs et le potentiel d'hébergement de gisements satellites à cet endroit continue d'être renforcé. »

« L'exploration systématique de l'important potentiel du projet aurifère Bankan se poursuivra, dans le but de découvrir d'autres gisements d'or économiques et d'accroître les ressources actuelles de 5,38 Moz. »

## RESUME DES RESULTATS DU FORAGE

Les résultats présentés dans cette annonce sont ceux de 131 trous forés sur une étendue totale de 9 355 m, comme le montre le tableau 1.

Il s'agit notamment des résultats des forages d'exploration RC et AC à Argo, ainsi que des résultats des forages au diamant (« DD ») et RC sur diverses cibles à proximité des gisements NEB et BC (voir la figure 1).

Tableau 1: Trous de forage mentionnés dans cette annonce

Emplacement	Type de forage	Trous	Mètres
Argo	RC	9	1 228
	AC	74	2 894
Presque-ressource	DD	5	1 774
	RC	43	3 459
<b>Total</b>		<b>131</b>	<b>9 355</b>

## RESULTATS DU FORAGE A ARGO

L'exploration régionale de PDI se concentre actuellement sur la zone d'Argo, située à 15-20 km au nord de NEB le long du corridor structural majeur de l'or, et est hautement prospective pour d'autres découvertes d'or.

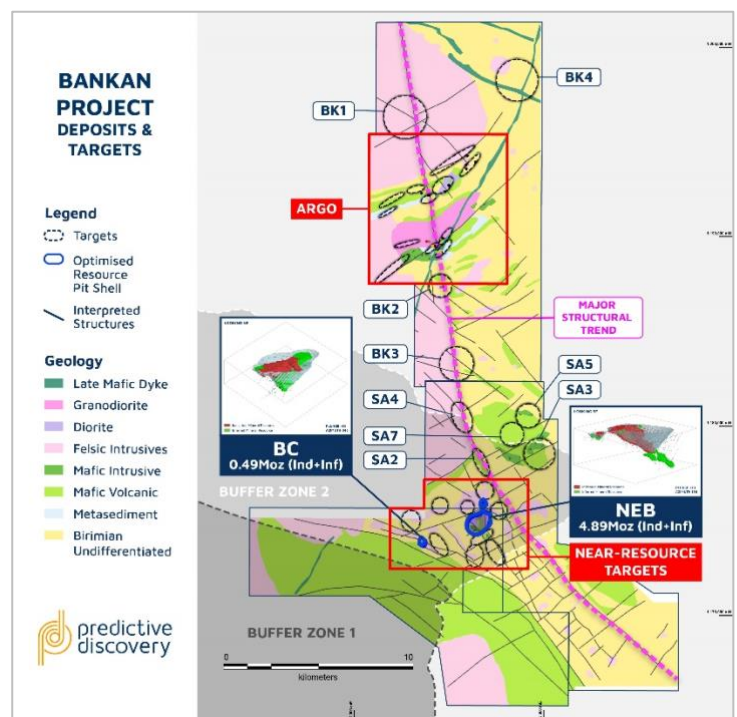


Figure 1: Gisements et cibles relatifs au projet Bankan

Un programme initial de forage RC de 49 trous a été achevé en octobre 2023, ce qui a permis d'obtenir des résultats prometteurs dans plusieurs zones cibles. Un programme de forage RC et AC est en cours pour suivre les meilleurs résultats du programme RC initial et tester des cibles supplémentaires. Les résultats inclus dans cette annonce proviennent de Sounsoun, Naladioulou et d'autres anomalies de tarière identifiées adjacentes à la tendance Argo South et à la tendance Argo Central.

## Sounsoun

Sounsoun est une cible de haute priorité qui est définie par une grande anomalie de tarière de 1,8 km. Le programme RC initial a foré quatre trous à l'extrémité nord-est de l'anomalie de tarière et a permis des interceptions encourageantes de 5 m à 5,16 g/t à partir de 129 m et de 9 m à 1,04 g/t à partir de 61 m.<sup>2</sup> Les derniers résultats à Sounsoun comprennent cinq trous RC pour suivre les résultats positifs initiaux, plus trois lignes de trous AC (51 trous) pour tester Sounsoun latéralement au sud-est et le long de la grève au sud-ouest. Les résultats sont présentés ci-dessous dans Figure 2.

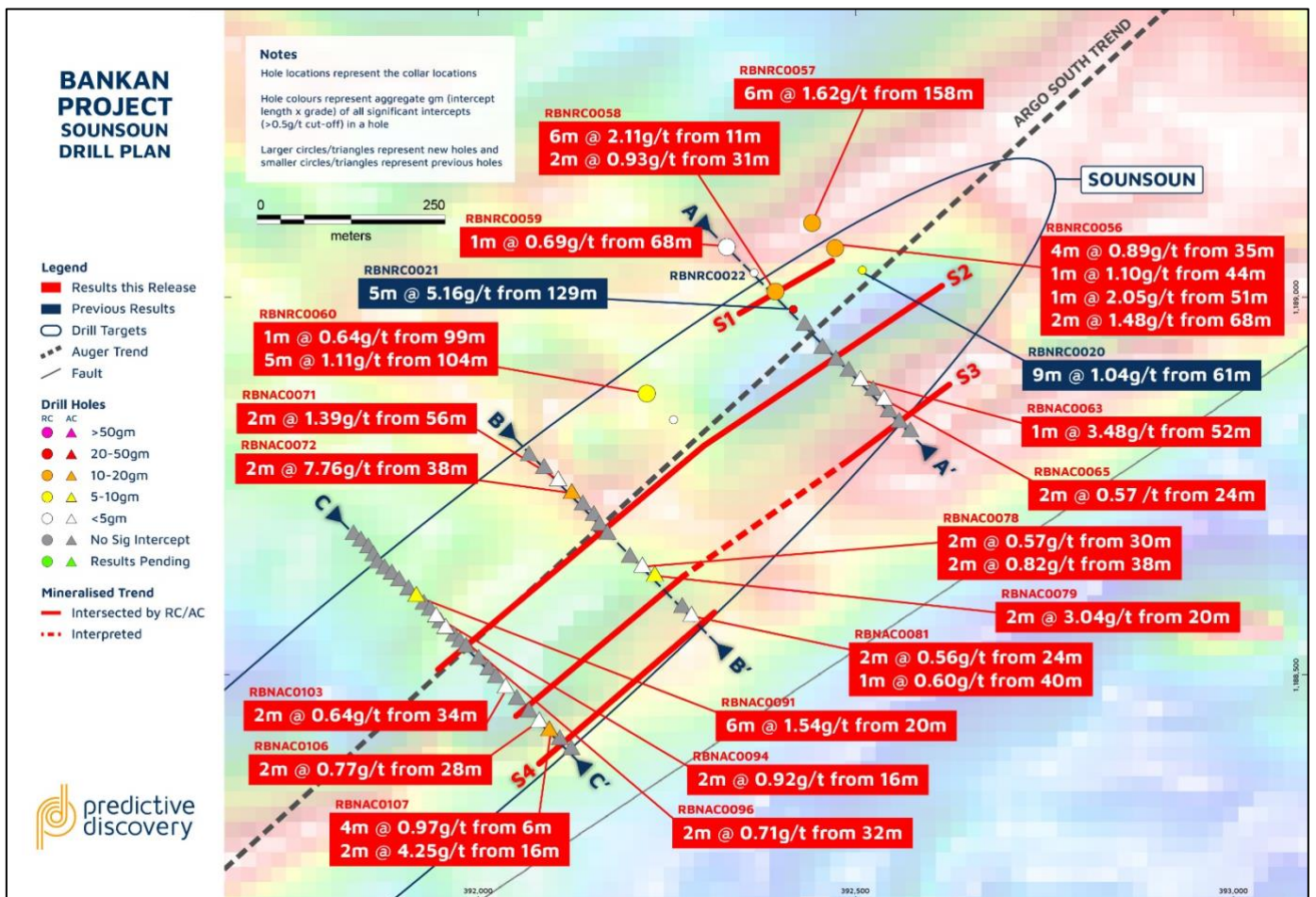


Figure 2: Plan de forage de Sounsoun

Deux structures principales ont été identifiées lors de la campagne de forage RC initiale. La structure centrale (S2) a retourné 9 m à 1,04 g/t à partir de 61 m dans RBNRC0020 et une structure plus profonde (S3) a enregistré 5 m à 5,16 g/t à partir de 129 m dans RBNRC0021.<sup>2</sup> Sur la base d'un intervalle anormal peu profond dans RBNRC0022, une troisième structure (S1) a également été suspectée au nord-ouest de S2.

<sup>2</sup> Annonce ASX – Encourager les résultats initiaux d'Argo RC (29 août 2023).

Les derniers trous RC ont confirmé la présence de la structure S1, avec des interceptions de 4 m à 0,89 g/t à partir de 35 m dans RBNRC0056 et de 6 m à 1,62 g/t à partir de 158 m dans RBNRC0057.

RBNRC0058 a rencontré la partie peu profonde de S2 avec un intercept de 6 m à 2,11 g/t à partir de 11 m (voir également la Figure 3). Deux lignes de trous AC forés au sud-ouest ont confirmé que S2 s'étend sur une longueur de 700 m, avec des interceptions de 2 m à 7,76 g/t à partir de 38 m dans RBNAC0072 (voir aussi la Figure 4) et de 6 m à 1,54 g/t à partir de 20 m dans RBNAC0091 (voir aussi la Figure 5). S2 coïncide avec le corridor anormal Argo South Trend et, à partir des résultats de forage initiaux, il semble que plusieurs structures se trouvent dans ce corridor.

La partie peu profonde de S3 identifiée en profondeur par RBNRC0021 a été interceptée par forage AC avec des résultats de 1 m à 3,48 g/t à partir de 52 m (RBNAC0063) et de 2 m à 0,57 g/t à partir de 24 m (RBNAC0065) (voir également la Figure 3). L'extension de cette structure a également été confirmée par un forage AC le long d'une longueur de frappe de 600 m avec 2 m à 3,04 g/t à partir de 20 m dans RBNAC0079 (voir également la Figure 4) et 2 m à 0,64 g/t à partir de 34 m dans RBNAC0103 (voir également la Figure 5).

Une quatrième structure, S4, a été découverte par les deux lignes AC forées au sud-ouest, avec les meilleures interceptions dans RBNAC0107 de 4 m à 0,97 g/t à partir de 6 m et de 2 m à 4,25 g/t à partir de 16 m (voir également la Figure 5).

Les quatre structures sont ouvertes au nord-est et au sud-ouest, et Sounson continue de présenter des promesses significatives. De nouveaux trous AC sont prévus pour tester ces extensions possibles, ainsi qu'au moins un trou DD pour affiner le contexte géologique et structurel de Sounson et de la tendance Argo Sud en général.

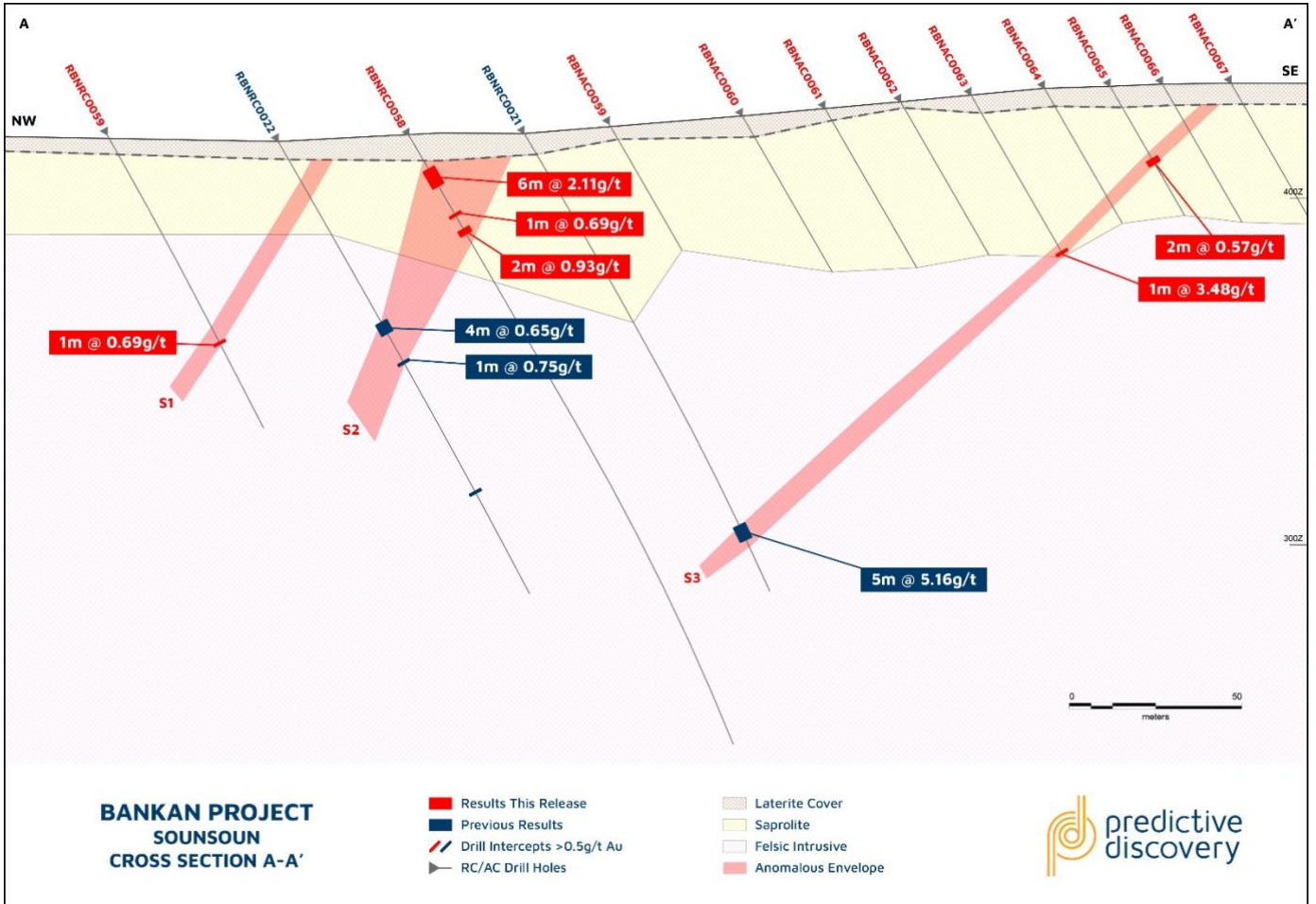


Figure 3: Section transversale Sounsoun A-A'

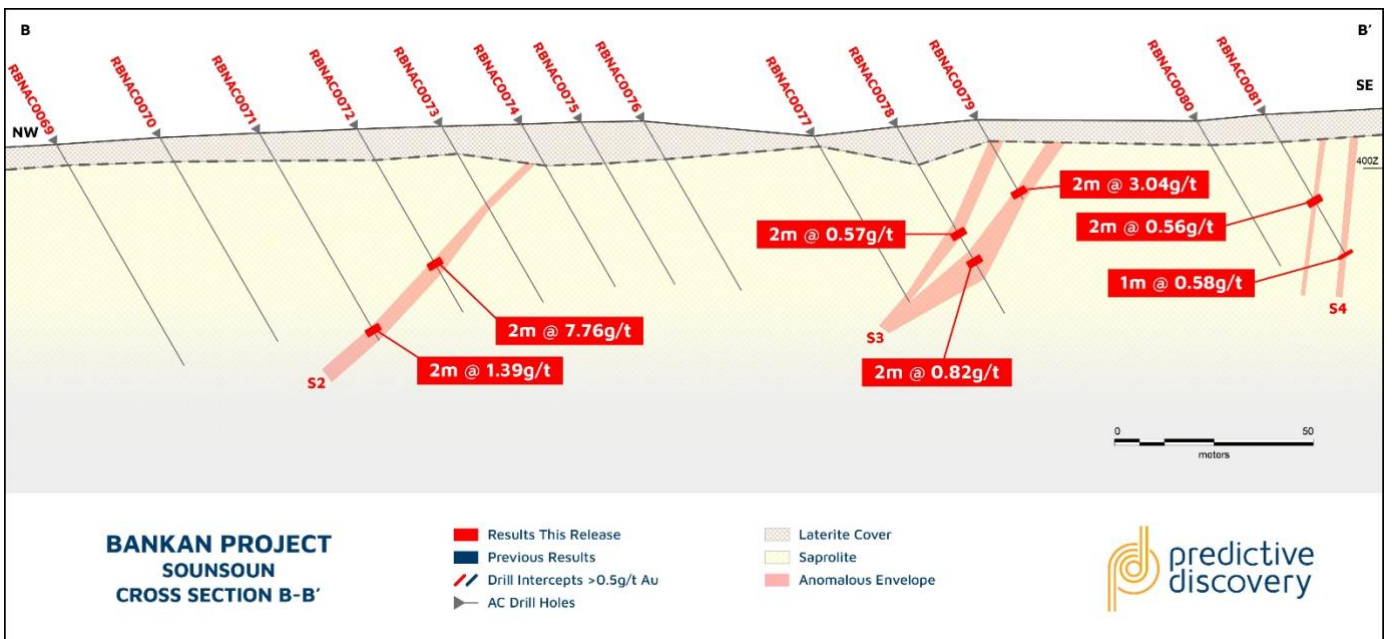


Figure 4: Section transversale Sounsoun B-B'

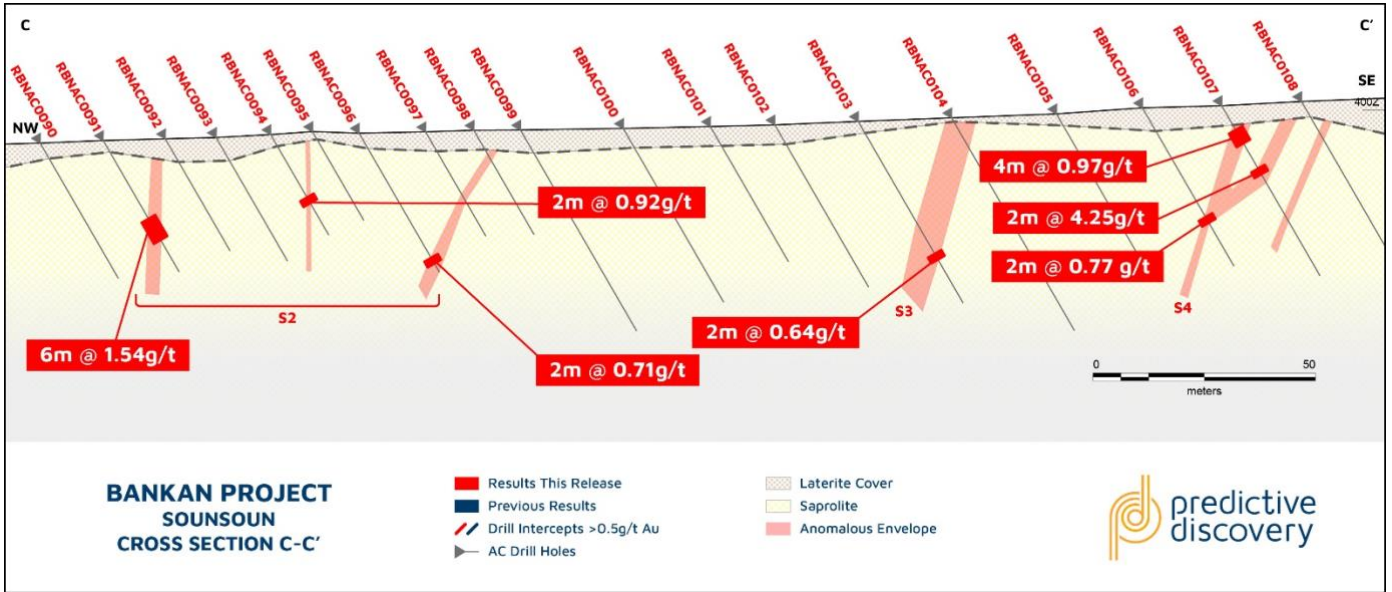


Figure 5: Section transversale Sounsoun C-C'

### Tendance Argo Sud

Une anomalie récemment découverte sur la tendance Argo South au nord de Naladioulou, qui a retournée jusqu'à 8 m à 0,83 g/t dans BKAU6136<sup>3</sup> dans le forage par tarière, a été testée par deux lignes de forage AC. La plupart des résultats sont toujours en attente, mais un intervalle prometteur de 6 m à 1,55 g/t a été enregistré dans RBNAC0128. Cet intercept est situé directement sur la tendance sud interprétée d'Argo, à 2,3 km latéralement au nord-est du prospect Sounsoun.

### Naladioulou

Le forage de suivi à la cible de Naladioulou comprenait quatre trous de forage RC pour tester les extensions en profondeur et immédiatement latéralement à RBNRC0030, qui a enregistré plusieurs interceptions significatives, dont 9 m à 4,42 g/t à partir de 60 m.<sup>4</sup> Des intervalles anormaux ont été rencontrés le long de la structure potentielle, mais les valeurs d'interception étaient modestes par rapport aux résultats initiaux, avec un meilleur interception de 4 m à 0,59 g/t à partir de 113 m dans RBNRC0054.

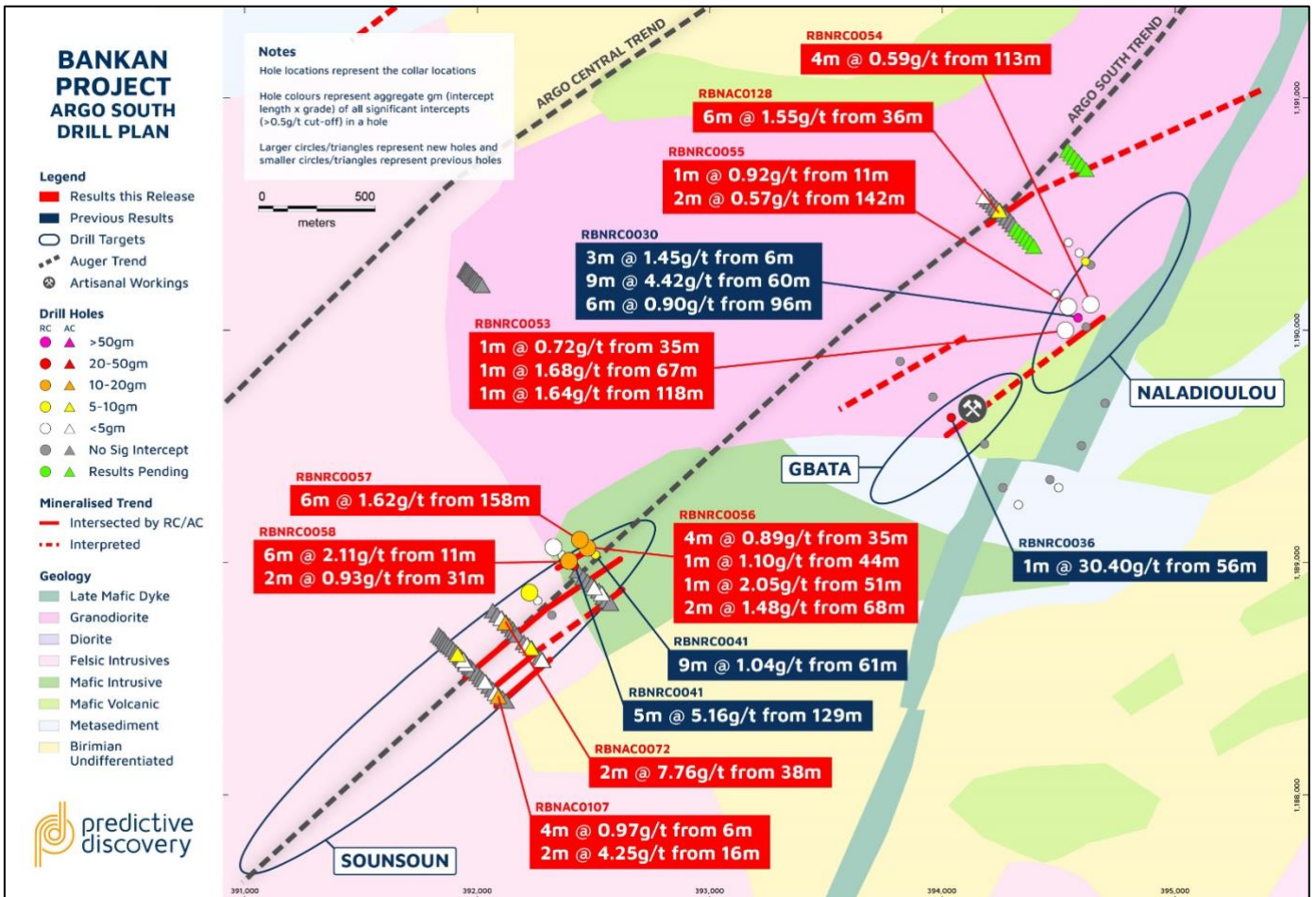


Figure 6: Plan de forage Argo Sud

<sup>3</sup> Annonce ASX – Encourager les résultats initiaux d'Argo RC (29 août 2023).

<sup>4</sup> Annonce ASX – Résultats prometteurs de l'ensemble du projet Bankan Gold (24 octobre 2023).

### ***Étapes suivantes pour l'exploration d'Argo***

Les forages du projet Bankan ont été temporairement interrompus en raison d'une pénurie de carburant suite à un incendie dans l'installation principale de stockage de carburant de Guinée à la mi-décembre. Le forage a récemment repris et toutes les plateformes sont désormais opérationnelles.

L'exploration à Argo progresse en fonction des résultats, avec des programmes de forage qui suivent les cibles les plus prometteuses jusqu'à présent et continuent à tester d'autres zones prometteuses.

Le forage AC progressera plus au nord-est le long de la tendance Argo South afin de tester de nouvelles anomalies à la tarière dans le domaine de la granodiorite qui semblent très prometteuses. Des lignes AC supplémentaires sont prévues à Sounsoun pour tester davantage l'extension sud-ouest des tendances minéralisées identifiées. Des forages AC sont également prévus pour tester la continuité potentielle de la minéralisation entre Fouwagbe et Sinkoumba, au niveau des anomalies de tarière situées au sud de Sedadiou, au niveau de la tendance de Sanifolon et entre les cibles de Tindini et de Sanikourou.

PDI prévoit d'entreprendre un programme limité de sondage carotté avec des trous initialement à Fouwagbe, Sounsoun, Sinkoumba, Tindini et potentiellement Naladioulou. Ce programme aidera à affiner la compréhension géologique et structurelle des perspectives, à tester plus en profondeur la minéralisation et à aider au ciblage futur.

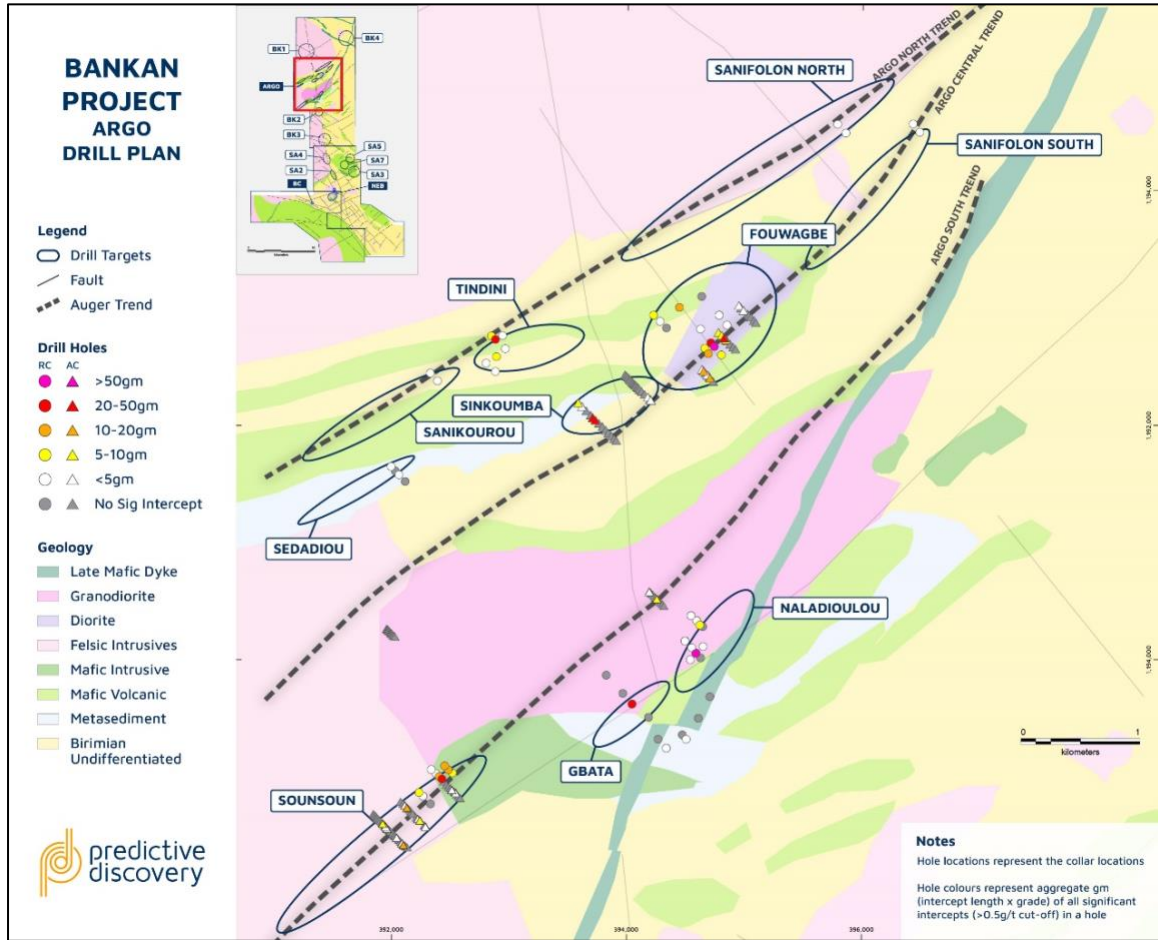


Figure 7: Zones cibles Argo

## RESULTATS DU FORAGE A PROXIMITE DES RESSOURCES

Les explorations antérieures dans les zones NEB et BC, y compris la géophysique, le forage par tarière et le forage AC, ont défini de nombreuses cibles d'exploration à proximité de la ressource attrayantes. Le forage est en cours pour tester ces cibles, dans le but de découvrir d'autres gisements aurifères qui ont le potentiel de soutenir une future opération centrée autour de la NEB et de la BC. Les trous de forage inclus dans cette annonce proviennent de SB, SEB, BC North et BC East, les résultats étant présentés sur Figure 8.

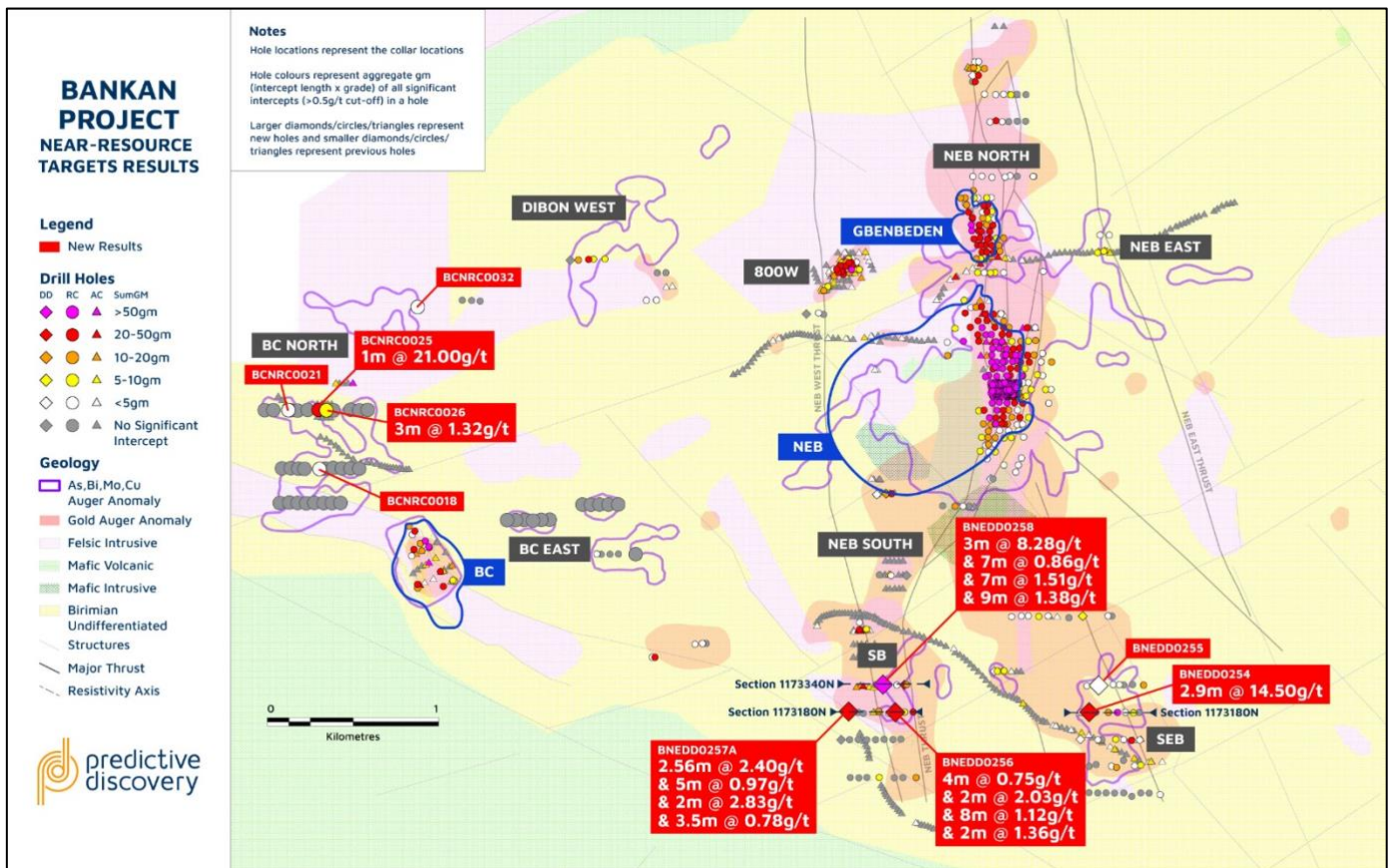


Figure 8: Plan de forage pour les cibles à proximité de la ressource

### SB et SEB

Les cibles SB et SEB sont situées respectivement à environ 1 km au sud et à environ 1 km au sud-est de NEB, dans le vaste couloir de déformation N-S de plusieurs kilomètres qui héberge le gisement NEB et s'étend au nord jusqu'au permis Argo. Le programme actuel de forage DD et RC fait suite à des forages AC et à la tarière réussis et a permis d'intercepter de multiples structures minéralisées. Cette zone présente une complexité structurale, avec l'interprétation préliminaire de plusieurs structures secondaires orientées ONO-ESE et SSO-NNE qui coupent la structure N-S principale. Certaines de ces structures s'étendent en profondeur, ce qui rend ces cibles très prometteuses. Les résultats des forages effectués jusqu'à présent indiquent que ces cibles pourraient abriter des gisements satellites.

SB

À SB, trois trous DD ont donné des résultats positifs, avec les meilleurs intercepts de :

- BNEDD0258 : 8,28 g/t sur 3 m à partir d'une profondeur de 2,8 m  
1,51 g/t sur 7 m à partir d'une profondeur de 19 m  
1,38 g/t sur 9 m à partir d'une profondeur de 244 m
- BNEDD0256 : 2 m à 2,03 g/t à partir de 126 m  
1,12 g/t sur 8 m à partir d'une profondeur de 195 m
- BNEDD0257 : 2,56 m à 2,40 g/t à partir de 89 m  
0,97 g/t sur 5 m à partir d'une profondeur de 96 m  
2,83 g/t sur 2 m à partir d'une profondeur de 234 m

BNEDD0258 a été foré sur la section 1173340N pour tester l'extension à la profondeur de plusieurs interceptions provenant des trous précédents BNERC0449 (2 m à 3,50 g/t à partir de 30 m dans la saprolite et 9 m à 0,98 g/t à partir de 64 m dans la roche fraîche<sup>5</sup>) et BNEDD0248 (6,75 m à 1,96 g/t à partir de 78,3 m et 12 m à 0,69 g/t à partir de 102 m dans la roche fraîche<sup>6</sup>).

BNEDD0258 a renvoyé des interceptions peu profondes encourageantes, dont 3 m à 8,28 g/t à partir de 2,8 m, 7 m à 0,86 g/t à partir de 8 m et 7 m à 1,51 g/t à partir de 19 m. Cette minéralisation se produit dans la saprolite montrant une forte oxydation associée aux systèmes de veines de quartz. Plus bas, 9 m à 1,38 g/t à partir de 244 m a été intercepté en métasédiment, la minéralisation se produisant le long des zones de déformation et d'altération intenses associées aux systèmes de veines quartz riches en sulfures (+/- 2 à 3 % de pyrite). Cet intercept est interprété comme étant la même structure que la minéralisation rencontrée dans BNEDD0248, confirmant la continuité en profondeur vers l'ouest.

<sup>5</sup> Annonce ASX – Résultats prometteurs de l'ensemble du projet Bankan Gold (24 octobre 2023).

<sup>6</sup> Annonce ASX – Le forage à Bankan donne des résultats plus positifs (11 décembre 2023).

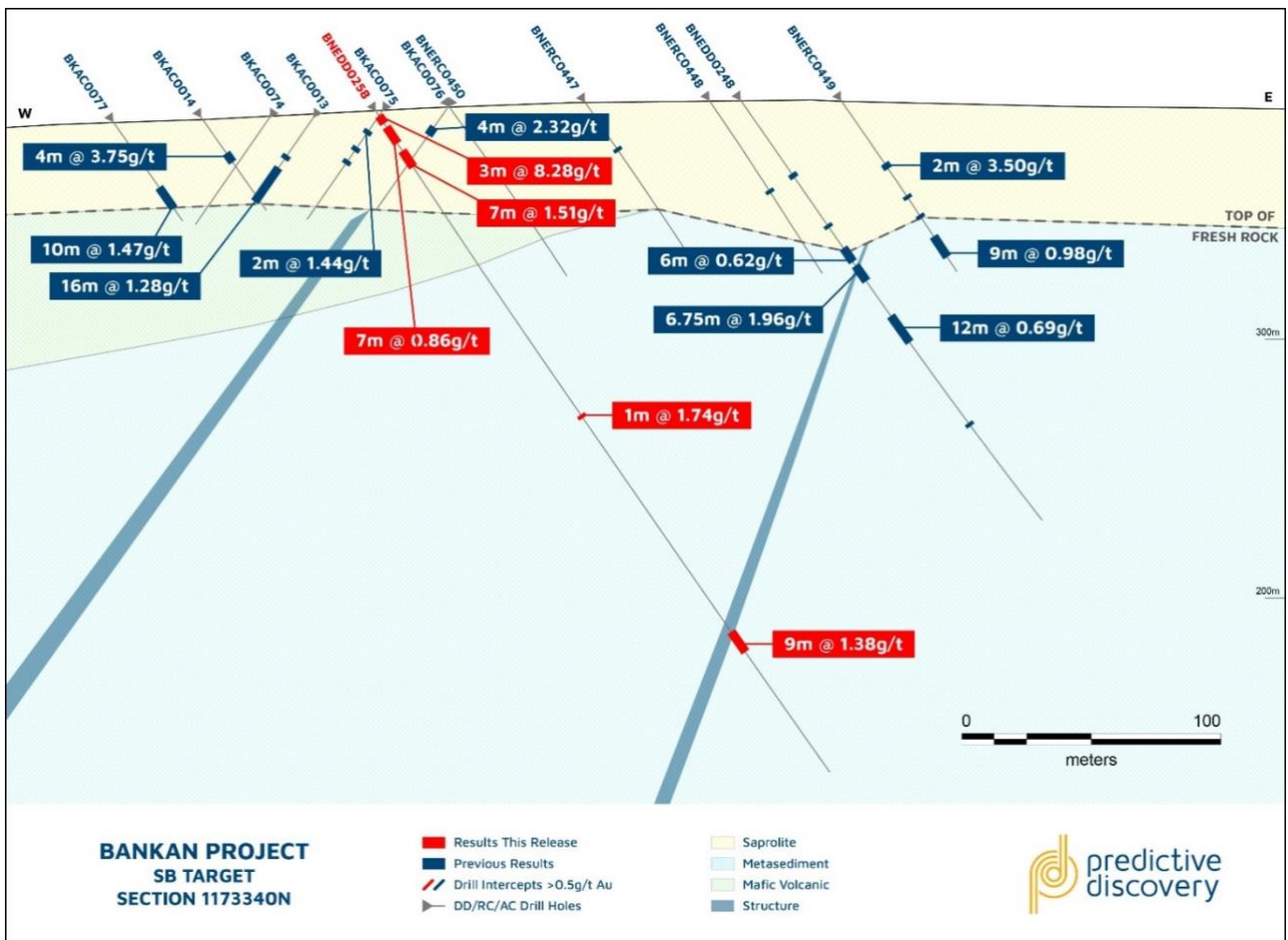


Figure 9: Section 1173340N transversale SB

Plus au sud sur la section 1173180N, BNEDD0257A et BNEDD0256 ont rapporté des résultats encourageants qui confirment que la minéralisation rencontrée dans les trous précédents se poursuit en profondeur vers l'ouest.

BNEDD0256 a renvoyé un certain nombre d'interceptions importantes. Notamment, 2 m à 2,03 g/t à partir de 126 m ont été enregistrés le long d'une structure interprétée comme la poursuite des interceptions dans les trous précédents BNERC0445 (3 m à 13,24 g/t à partir de 30 m en saprolite<sup>7</sup>) et BNERC0444 (2 m à 2,62 g/t à partir de 61 m en saprolite<sup>7</sup>). Plus bas dans le trou, BNEDD0256 a enregistré un meilleur intercept de 8 m à 1,12 g/t à partir de 195 m. La minéralisation dans BNEDD0256 survient généralement dans la formation de métasédiments, qui est légèrement déformée et associée à des altérations multiphasées. La teneur en sulfure est de +/- 3 à 4 % de pyrite.

BNEDD0257A a intersecté 2,56 m à 2,40 g/t à partir de 89 m et 5 m à 0,97 g/t à partir de 96 m. Ces intercepts ont été interprétés comme étant associés à la même structure qui a renvoyé 9 m à 3,30 g/t à partir de 72 m dans le trou précédent BNERC0454.<sup>7</sup> Plus bas dans le trou, BNEDD0257A a intersecté 2 m à 2,83 g/t à partir de 234 m, indiquant une continuité supplémentaire de la structure rencontrée dans BNEDD0256. La

<sup>7</sup> Annonce ASX – Résultats prometteurs de l'ensemble du projet Bankan Gold (24 octobre 2023).

minéralisation de BNEDD0257A se trouve dans une formation de métasédiments, le long de zones déformées et altérées associées à des systèmes de veines de quartz riches en sulfures (+/- 2 à 3 % de pyrite).

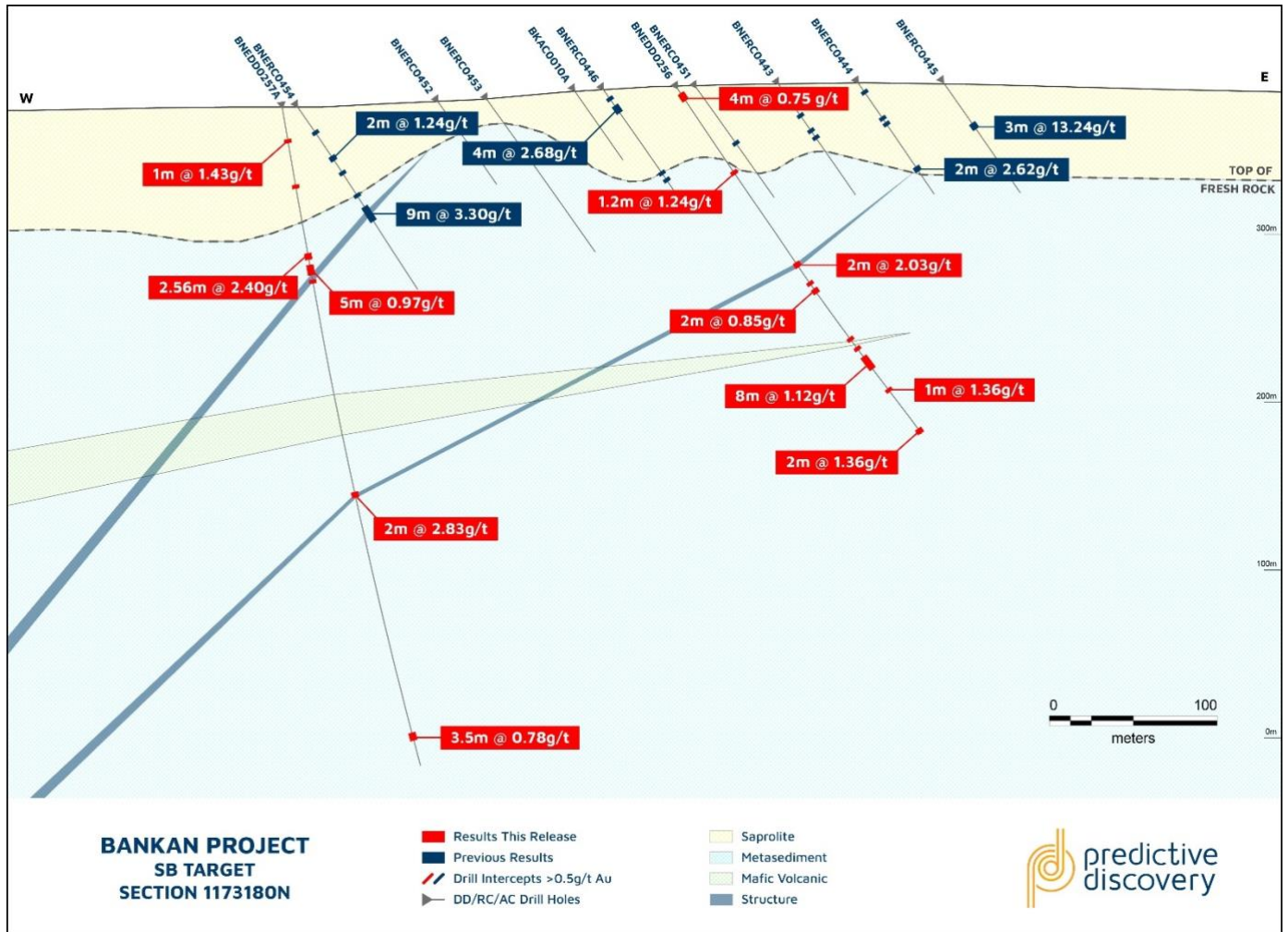


Figure 10: Section 1173180N transversale SB

Ces résultats récents de SB renforcent l'interprétation actuelle de deux zones parallèles de minéralisation à l'ouest sur les bords d'une forte anomalie de résistivité. Ces zones semblent être contrôlées par la structure principale N-S recoupée par plusieurs structures secondaires créant des zones de jog au niveau du contact.

### SEB

Deux trous DD ont été forés à SEB, le BNEDD0254 enregistrant une forte interception de 2,9 m à 14,50 g/t à partir de 194 m dans la roche fraîche, démontrant la forte potentialité de la cible SEB. La minéralisation se produit dans la formation volcanique mafique le long d'une zone de déformation associée à une altération du chlorite et de la séricite avec des systèmes de veines de quartz riches en sulfures (+/- 2 % à 3 % de pyrite). BNEDD0254 a également enregistré plusieurs autres interceptions importantes qui ont renvoyé des largeurs de 1 m avec des grades modestes.

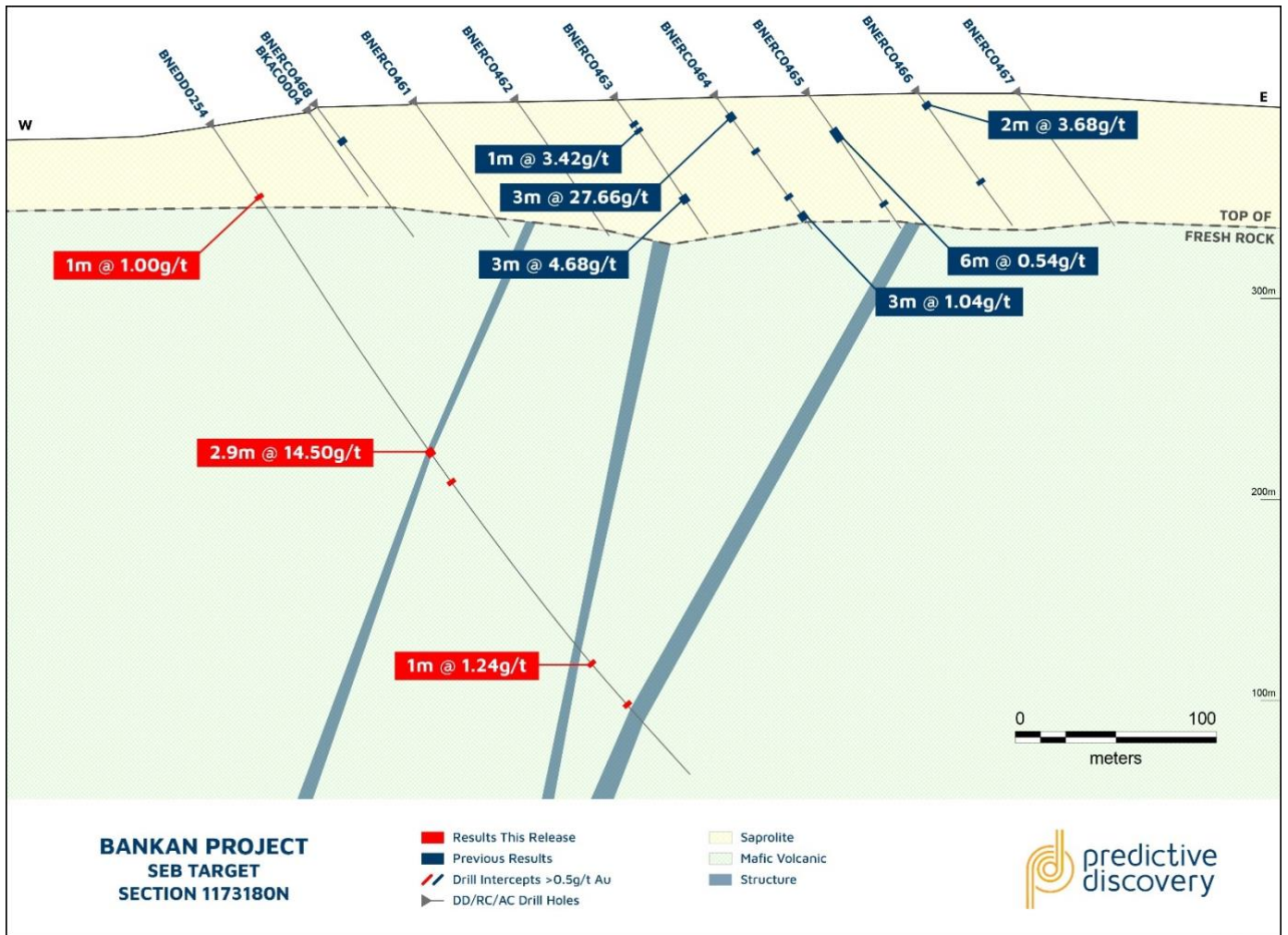


Figure 11: Section transversale SEB 1173180N

### BC Nord

BC North est situé au nord-ouest du gisement de BC, en partie à l'intérieur du couloir ONO-ESE qui abrite le gisement. BC North est mis en évidence par plusieurs anomalies d'éléments indicateurs. Les résultats de 31 sondages RC sont présentés dans ce communiqué, avec les meilleures intersections de :

- BCNRC0025 : 1 m à 21,00 g/t à partir de 29 m
- BCNRC0026 : 3 m à 1,32 g/t à partir de 9 m  
0,63 g/t sur 2 m à partir d'une profondeur de 21 m

### BC East

Douze autres trous RC ont été forés pour tester plusieurs anomalies de tarière à éléments indicateurs. Aucune interception significative n'a été enregistrée à partir des trous inclus dans cette annonce.

### ***Prochaines étapes pour l'exploration à proximité de la ressource***

Comme pour Argo, le forage à proximité de la ressource a récemment repris. Les programmes DD et RC actuels se poursuivront sur les objectifs BC East, BC North, NEB North, NEB East et Dibon West. Un programme de forage AC est également en cours de conception pour tester la continuité latérale de plusieurs interceptions importantes provenant des prospectifs SB, SEB, BC East, BC North, Dibon West et 800W.

D'autres objectifs de génération de ressources proches sont également prévus. Cela comprendra des forages géochimiques de tarière supplémentaires au nord de NEB le long du corridor structurel N-S principal et au sud de SB et SEB, ainsi que des géophysiques terrestres supplémentaires couvrant la zone entre NEB et BC, au nord de NEB et au sud de SB/SEB.

**- FIN -**

La publication de cette annonce est autorisée par le directeur général de PDI, Andrew Pardey.

Pour plus d'informations, consultez notre site web à l'adresse [www.predictivediscovery.com](http://www.predictivediscovery.com) ou contactez-nous :

#### **Demandes des investisseurs**

Brad Milne  
Responsable du développement de l'entreprise  
E-mail : [brad.milne@predictivediscovery.com](mailto:brad.milne@predictivediscovery.com)  
Tél. : +61 8 9216 1000

#### **Demandes des médias**

Bobby Morse/George Pope  
Buchanan  
E-mail : [predictive@buchanancomms.co.uk](mailto:predictive@buchanancomms.co.uk)  
Tél. : +44 (0) 20 7466 5000

## À PROPOS DE PREDICTIVE DISCOVERY

La stratégie de PDI consiste à identifier et à développer des gisements aurifères dans le bassin de Siguiri, en Guinée. Le principal actif de la Société est le Projet aurifère Bankan de niveau 1. Des ressources minérales de 5,38 Moz ont été identifiées à ce jour dans les gisements de NEB (4,89 Moz) et de BC (487 koz),<sup>8</sup> ce qui fait de Bankan la plus importante découverte aurifère en Afrique de l'Ouest depuis une décennie.

PDI vise le développement durable de Bankan pour en faire une mine d'or de niveau 1. La Société se concentre actuellement sur la réalisation d'une Étude de pré faisabilité et d'études ESG en tant qu'étapes cruciales pour obtenir un permis d'exploitation minière pour le Projet à la mi-2024.

Le projet Bankan est très prometteur du point de vue des découvertes supplémentaires. PDI explore également des cibles à proximité des gisements de NEB et de BC, et à l'échelle régionale, notamment au nord, le long de la superstructure aurifère de 35 km qui s'étend au-delà des permis.

## DÉCLARATION DES PERSONNES COMPÉTENTES

Les résultats d'exploration présentés ici pour la région NEB et BC sont fondés sur des informations compilées par M. Franck Bizouerne, membre de la Fédération européenne des géologues. M. Bizouerne est un employé à temps plein de la Société et de par sa riche expérience concernant le style de minéralisation et les types de gisements, il est considéré comme une personne compétente au sens de l'édition 2012 du Code australasien de communication des résultats d'exploration des ressources minérales et des réserves de minerai. M. Bizouerne consent à ce que les questions fondées sur ses informations soient incluses dans le rapport sous la forme et dans le contexte où elles ont été fournies.

Les résultats d'exploration présentés ici pour Argo sont fondés sur des informations compilées par M. Cédric Gineste, membre de l'Australian Institute of Geoscientists (Institut australien des géoscientifiques). M. Gineste est un consultant de la Société et de par sa riche expérience concernant le style de minéralisation et les types de gisements, il est considéré comme une personne compétente au sens de l'édition 2012 du Code australasien de communication des résultats d'exploration des ressources minérales

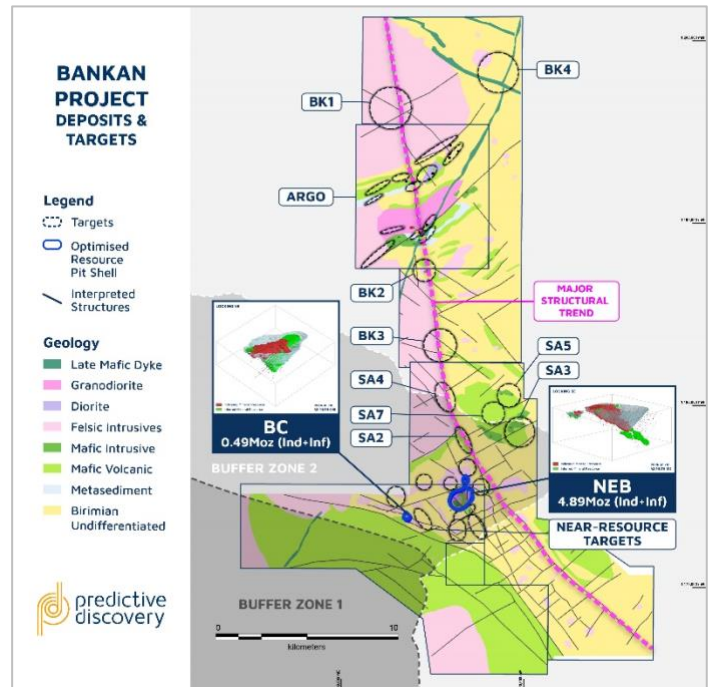


Figure 12: Gisements et cibles relatifs au projet Bankan

<sup>8</sup> Reportez-vous à la Déclaration de conformité fournie à la fin de cette annonce.

et des réserves de minéral. M. Gineste consent à ce que les questions fondées sur ses informations soient incluses dans le rapport sous la forme et dans le contexte où elles ont été fournies.

## DÉCLARATION DE CONFORMITÉ

Les informations contenues dans cette annonce et qui se rapportent à l'estimation précédente des ressources minérales proviennent de l'annonce intitulée « Augmentation des ressources minérales de Bankan à 5,38 Moz » du 7 août 2023. Vous trouverez un résumé de cette estimation dans le tableau ci-dessous.

Gisement	Classification	Seuil (g/t Au)	Tonnes (Mt)	Teneur (g/t Au)	Contient (Koz Au)
Mine à ciel ouvert de NEB	Indiqué	0,5	78,4	1,55	3 900
	Présumé	0,5	3,1	0,91	92
	<b>Total</b>		<b>81,4</b>	<b>1,53</b>	<b>3 993</b>
Sous-sol de NEB	Présumé	2,0	6,8	4,07	896
<b>Total pour NEB</b>			<b>88,3</b>	<b>1,72</b>	<b>4 888</b>
Mine à ciel ouvert de BC	Indiqué	0,4	5,3	1,42	244
	Présumé	0,4	6,9	1,09	243
<b>Total BC</b>			<b>12,2</b>	<b>1,24</b>	<b>487</b>
<b>Total pour le projet Bankan</b>			<b>100,5</b>	<b>1,66</b>	<b>5 376</b>

Les informations contenues dans cette annonce qui se rapportent aux résultats d'exploration précédents ont été recoupées avec l'annonce originale ou proviennent d'annonces répertoriées dans le tableau ci-dessous.

Date	Annonce	Date	Annonce
11 décembre 2023	Le forage à Bankan donne d'autres résultats positifs	19 juillet 2021	Il est dévoilé à Bankan que Bonanza Gold est une zone à haute teneur
24 octobre 2023	Résultats prometteurs de l'ensemble du projet Bankan Gold	17 juin 2021	Large intercepts d'or de Bankan Creek et NE Bankan
12 septembre 2023	Autres résultats de forage solides de la zone NEB et BC	3 juin 2021	NE Bankan s'étend jusqu'à la profondeur avec de solides nuances d'or
29 août 2023	Encourager les premiers résultats Argo RC	31 mai 2021	6 m à 32 g/t d'or du premier forage à Koundian, Guinée
7 août 2023	Ressources minérales augmentées à 5,38 Moz	13 mai 2021	Large diffusion et or de haute qualité de Bankan Regional Auger
7 août 2023	Forage de définition des ressources	6 mai 2021	La zone aurifère centrale de NE Bankan s'étend en profondeur vers le sud
19 juin 2023	Résultats encourageants liés au forage dans les cibles de NEB, BC et	28 avril 2021	Bankan Aeromag : nombreuses nouvelles cibles de forage le long d'une
19 juin 2023	La cible d'argo devient très prometteuse d'après les derniers	15 avril 2021	La minéralisation aurifère de NE Bankan s'étend considérablement en
5 juin 2023	Résultats des forages positifs de NEB et BC	31 mars 2021	NE Bankan atteint 300 m de large. De l'or à haute teneur en surface
22 mai 2023	Plusieurs cibles de forage hautement prioritaires identifiées à Argo	15 mars 2021	Teneurs exceptionnellement élevées, intercepts épais à NE Bankan
6 avril 2023	Forage RC en cours à des cibles à proximité de la ressource	5 mars 2021	Le projet NE Bankan fait apparaître une importante zone aurifère oxydée
4 avril 2023	Résultats du forage intercalaire	25 février 2021	Les forages permettent d'augmenter la profondeur des découvertes
21 février 2023	Les intercepts de haute qualité prolongent la minéralisation	11 février 2021	Les résultats de forage de haute qualité étendent la découverte de Bankan
6 février 2023	50 % des ressources à ciel ouvert de NEB, d'une valeur de	28 janvier 2021	L'exceptionnel intercept d'or fait croire Bankan en profondeur
30 janvier 2023	Les excellents résultats des forages intercalaires se poursuivent	22 janvier 2021	Accélération des forages dans le cadre du projet aurifère Bankan
30 novembre 2022	Résultats prometteurs des forages et de la géophysique à proximité	27 novembre 2020	Mise à jour sur l'exploration - Projet aurifère de Bankan, Guinée
10 novembre 2022	Résultats positifs du forage intercalaire et programme de contrôle	20 octobre 2020	Mise à jour sur l'exploration - Forage aurifère en cours à Bankan-2
29 septembre 2022	Or de haute qualité 200 m en dessous de la ressource de 3,9 Moz de	13 octobre 2020	92 m à 1,9 g/t Or - Un sondage carotté élargit le projet Bankan
25 août 2022	Les impressionnantes découvertes d'or se poursuivent dans les	25 septembre 2020	Le gisement aurifère de NE Bankan augmente avec des résultats de forage
1er août 2022	Ressources aurifères de 4,2 millions d'onces à Bankan	10 septembre 2020	55 m à 2,94 g/t, largeures réelles confirmées à Bankan
15 juin 2022	Le trou le plus profond à ce jour intercepte de l'or à 630 m en aval-	3 septembre 2020	NE Bankan 1,6 km de long avec une possible zone aurifère parallèle
19 mai 2022	Programme de forage de 60 000 m en cours à Bankan et	27 août 2020	Zone aurifère de Bankan Creek encore élargie
27 avril 2022	41,5 m à 5,2 g/t Au recoupé à NE Bankan	19 août 2020	Fortes interceptions d'or à grande échelle dans Bankan Creek et NE Bankan
2 février 2022	Le potentiel multi-dépôts augmente avec de solides résultats	7 août 2020	Résultats exceptionnels à haute teneur en or à NE Bankan, Guinée
13 janvier 2022	33 m à 4,5 g/t Au à NE Bankan, Guinée	31 juillet 2020	Un sondage carotté confirme la présence d'or en profondeur à NE Bankan,
16 décembre 2021	Le projet Bankan se développe avec de nouvelles découvertes	17 juillet 2020	Les résultats impressionnants du premier forage RC élargissent la
9 décembre 2021	Intersections prédictives 34 m à 5,5 g/t Au à NE Bankan	30 juin 2020	Découverte de la région nord-est de la Guinée étendue de 30 % à 1,3 km
22 novembre 2021	Extension en profondeur du gisement aurifère à haute teneur de	27 mai 2020	Les résultats de la tarière Kaninko doublent la longueur de la zone

Date	Annonce	Date	Annonce
3 novembre 2021	Zone aurifère de haute qualité étendue sous la fosse à ciel ouvert	7 mai 2020	Mise à jour du forage - Projet Kaninko, Guinée
28 octobre 2021	Les forages AC identifient de nouveaux prospects aurifères à Bankan	30 avril 2020	Résultats finaux des forages, Bankan Creek, Projet Kaninko, Guinée
19 octobre 2021	Renforcement et extension de la zone aurifère à haute teneur de NE	27 avril 2020	44 m à 2,06 g/t Or de Bankan Creek, Kaninko, Guinée
30 septembre 2021	Estimation des ressources minérales de Maiden Bankan de	15 avril 2020	Résultats de forage exceptionnels pour une nouvelle découverte d'or en
23 septembre 2021	28 m à 12,1 g/t Or 1,5 km de NE Bankan	7 avril 2020	Le sol guinéen a acquis un gisement aurifère de plus de 2 millions d'onces
16 septembre 2021	Zone aurifère de haute qualité confirmée jusqu'à 400 m de	19 mars 2020	Des teneurs élevées et des largeurs importantes grâce au programme de
24 août 2021	Largeurs et teneurs élevées du forage de ressources à Bankan Creek	26 février 2020	Jusqu'à 8 g/t d'or provenant du forage par tarière électrique en Guinée
2 août 2021	Le forage de Bankan révèle de nouvelles largeurs et de nouvelles	17 juin 2021	Larges intercepts d'or de Bankan Creek et NE Bankan

PDI indique qu'elle n'a connaissance d'aucune nouvelle information ou donnée qui affecte substantiellement les résultats d'exploration précédents ou l'estimation des ressources minérales contenue dans cette annonce, et toutes les hypothèses importantes et les paramètres techniques qui sous-tendent l'estimation des ressources minérales continuent de s'appliquer et n'ont pas changé de manière substantielle.

## ANNEXE 1 : RESULTATS DU FORAGE A ARGO

Trou n°	Type de trou	UTM 29N Est	UTM 29N Nord	RL (GPS)	Azimut du forage	Plongée dans le trou	Profondeur du trou	Coupure d'or à 0,5 g/t			
								À partir de	Intervalle	Au g/t	GM
<b>Sounsoun</b>											
RBNRC0056	RC	392 473	1 189 065	421	136,8	-60,1	120	35	4	0,89	4
								44	1	1,10	1
								51	1	2,05	2
								61	1	0,97	1
								68	2	1,48	3
RBNRC0057	RC	392 442	1 189 098	421	132,6	-59,5	172	116	1	0,70	1
								150	1	0,60	1
								<b>158</b>	<b>6</b>	<b>1,62</b>	<b>10</b>
RBNRC0058	RC	392 394	1 189 007	418	136,5	-59,7	200	<b>11</b>	<b>6</b>	<b>2,11</b>	<b>13</b>
								26	1	0,69	1
								31	2	0,93	2
RBNRC0059	RC	392 329	1 189 066	418	137,8	-60,4	96	68	1	0,69	1
RBNRC0060	RC	392 224	1 188 872	412	135,1	-60,4	120	99	1	0,64	1
								104	5	1,11	6
								119	1	0,78	1
RBNAC0059	AC	392 434	1 188 965	421	135,0	-60,0	42	Pas d'interceptions significatives			
RBNAC0060	AC	392 458	1 188 935	424	135,0	-60,0	52	Pas d'interceptions significatives			
RBNAC0061	AC	392 476	1 188 919	426	135,0	-60,0	53	Pas d'interceptions significatives			
RBNAC0062	AC	392 492	1 188 905	428	135,0	-60,0	51	Pas d'interceptions significatives			
RBNAC0063	AC	392 508	1 188 892	430	135,0	-60,0	53	52	1	3,48	4
RBNAC0064	AC	392 525	1 188 879	432	135,0	-60,0	45	Pas d'interceptions significatives			
RBNAC0065	AC	392 539	1 188 867	432	135,0	-60,0	43	24	2	0,57	1
RBNAC0066	AC	392 545	1 188 851	433	135,0	-60,0	46	Pas d'interceptions significatives			
RBNAC0067	AC	392 559	1 188 837	433	135,0	-60,0	47	Pas d'interceptions significatives			
RBNAC0068	AC	392 574	1 188 824	433	135,0	-60,0	39	Pas d'interceptions significatives			
RBNAC0069	AC	392 069	1 188 792	406	135,0	-60,0	64	Pas d'interceptions significatives			
RBNAC0070	AC	392 089	1 188 776	408	135,0	-60,0	59	Pas d'interceptions significatives			
RBNAC0071	AC	392 108	1 188 760	409	135,0	-60,0	60	56	2	1,39	3
RBNAC0072	AC	392 126	1 188 743	410	135,0	-60,0	53	<b>38</b>	<b>2</b>	<b>7,76</b>	<b>16</b>
RBNAC0073	AC	392 140	1 188 727	411	135,0	-60,0	51	Pas d'interceptions significatives			
RBNAC0074	AC	392 155	1 188 714	411	135,0	-60,0	47	Pas d'interceptions significatives			
RBNAC0075	AC	392 163	1 188 700	412	135,0	-60,0	47	Pas d'interceptions significatives			
RBNAC0076	AC	392 173	1 188 688	412	135,0	-60,0	49	Pas d'interceptions significatives			
RBNAC0077	AC	392 203	1 188 658	408	135,0	-60,0	48	Pas d'interceptions significatives			
RBNAC0078	AC	392 219	1 188 645	410	135,0	-60,0	54	30	2	0,57	1
								38	2	0,82	2
RBNAC0079	AC	392 236	1 188 633	412	135,0	-60,0	23	20	2	3,04	6
RBNAC0080	AC	392 272	1 188 592	412	135,0	-60,0	42	Pas d'interceptions significatives			
RBNAC0081	AC	392 285	1 188 580	414	135,0	-60,0	41	24	2	0,56	1
								40	1	0,58	1
RBNAC0082	AC	391 837	1 188 688	390	135,0	-60,0	33	Pas d'interceptions significatives			
RBNAC0083	AC	391 847	1 188 679	390	135,0	-60,0	30	Pas d'interceptions significatives			
RBNAC0084	AC	391 856	1 188 671	390	135,0	-60,0	29	Pas d'interceptions significatives			
RBNAC0085	AC	391 863	1 188 661	391	135,0	-60,0	29	Pas d'interceptions significatives			
RBNAC0086	AC	391 869	1 188 651	391	135,0	-60,0	28	Pas d'interceptions significatives			
RBNAC0087	AC	391 878	1 188 643	391	135,0	-60,0	30	Pas d'interceptions significatives			
RBNAC0088	AC	391 888	1 188 636	392	135,0	-60,0	34	Pas d'interceptions significatives			
RBNAC0089	AC	391 898	1 188 627	392	135,0	-60,0	39	Pas d'interceptions significatives			
RBNAC0090	AC	391 910	1 188 616	393	135,0	-60,0	35	Pas d'interceptions significatives			
RBNAC0091	AC	391 920	1 188 606	393	135,0	-60,0	34	<b>20</b>	<b>6</b>	<b>1,54</b>	<b>9</b>
RBNAC0092	AC	391 930	1 188 596	394	135,0	-60,0	29	Pas d'interceptions significatives			
RBNAC0093	AC	391 938	1 188 588	394	135,0	-60,0	32	Pas d'interceptions significatives			
RBNAC0094	AC	391 946	1 188 579	395	135,0	-60,0	26	16	2	0,92	2
RBNAC0095	AC	391 952	1 188 571	395	135,0	-60,0	23	Pas d'interceptions significatives			
RBNAC0096	AC	391 959	1 188 564	395	135,0	-60,0	36	32	2	0,71	1
RBNAC0097	AC	391 970	1 188 554	395	135,0	-60,0	27	Pas d'interceptions significatives			
RBNAC0098	AC	391 978	1 188 546	396	135,0	-60,0	27	Pas d'interceptions significatives			
RBNAC0099	AC	391 986	1 188 539	396	135,0	-60,0	52	Pas d'interceptions significatives			
RBNAC0100	AC	392 002	1 188 523	396	135,0	-60,0	45	Pas d'interceptions significatives			
RBNAC0101	AC	392 016	1 188 509	396	135,0	-60,0	35	Pas d'interceptions significatives			
RBNAC0102	AC	392 026	1 188 499	397	135,0	-60,0	42	Pas d'interceptions significatives			
RBNAC0103	AC	392 039	1 188 485	398	135,0	-60,0	47	34	2	0,64	1
RBNAC0104	AC	392 053	1 188 470	398	135,0	-60,0	55	Pas d'interceptions significatives			
RBNAC0105	AC	392 069	1 188 453	399	135,0	-60,0	43	Pas d'interceptions significatives			

Trou n°	Type de trou	UTM 29N Est	UTM 29N Nord	RL (GPS)	Azimut du forage	Plongée dans le trou	Profondeur du trou	Coupure d'or à 0,5 g/t			
								À partir de	Intervalle	Au g/t	GM
RBNAC0106	AC	392 083	1 188 440	401	135,0	-60,0	41	28	2	0,77	2
RBNAC0107	AC	392 096	1 188 428	401	135,0	-60,0	44	6	4	0,97	4
								<b>16</b>	<b>2</b>	<b>4,25</b>	<b>9</b>
RBNAC0108	AC	392 110	1 188 417	402	135,0	-60,0	46	Pas d'interceptions significatives			
RBNAC0109	AC	392 125	1 188 404	403	135,0	-60,0	56	Pas d'interceptions significatives			
<b>Naladioulou</b>											
RBNRC0052	RC	394 620	1 190 014	407	138,1	-60,3	100	Pas d'interceptions significatives			
RBNRC0053	RC	394 531	1 189 999	408	135,7	-60,0	120	35	1	0,72	1
								67	1	1,68	2
								118	1	1,64	2
RBNRC0054	RC	394 639	1 190 111	408	136,2	-60,6	120	113	4	0,59	2
RBNRC0055	RC	394 542	1 190 101	418	136,4	-58,9	180	11	1	0,92	1
								142	2	0,57	1
<b>Tendance Argo Sud</b>											
RBNAC0123	AC	394 188	1 190 576	386	135,0	-60,0	41	20	2	0,79	2
RBNAC0124	AC	394 200	1 190 564	387	135,0	-60,0	40	Pas d'interceptions significatives			
RBNAC0125	AC	394 212	1 190 552	387	135,0	-60,0	44	Pas d'interceptions significatives			
RBNAC0126	AC	394 224	1 190 538	388	135,0	-60,0	41	Pas d'interceptions significatives			
RBNAC0127	AC	394 236	1 190 527	388	135,0	-60,0	46	Pas d'interceptions significatives			
RBNAC0128	AC	394 250	1 190 514	389	135,0	-60,0	47	<b>36</b>	<b>6</b>	<b>1,55</b>	<b>9</b>
RBNAC0129	AC	394 266	1 190 499	390	135,0	-60,0	50	Pas d'interceptions significatives			
RBNAC0130	AC	394 281	1 190 484	390	135,0	-60,0	51	Pas d'interceptions significatives			
RBNAC0131	AC	394 295	1 190 468	391	135,0	-60,0	48	Pas d'interceptions significatives			
RBNAC0132	AC	394 309	1 190 454	392	135,0	-60,0	47	Pas d'interceptions significatives			
<b>Tendance Argo Central</b>											
RBNAC0110	AC	391 950	1 190 261	380	135,0	-60,0	19	Pas d'interceptions significatives			
RBNAC0111	AC	391 955	1 190 257	381	135,0	-60,0	19	Pas d'interceptions significatives			
RBNAC0112	AC	391 959	1 190 254	381	135,0	-60,0	22	Pas d'interceptions significatives			
RBNAC0113	AC	391 964	1 190 248	381	135,0	-60,0	23	Pas d'interceptions significatives			
RBNAC0114	AC	391 971	1 190 242	381	135,0	-60,0	22	Pas d'interceptions significatives			
RBNAC0115	AC	391 977	1 190 236	382	135,0	-60,0	22	Pas d'interceptions significatives			
RBNAC0116	AC	391 982	1 190 231	382	135,0	-60,0	23	Pas d'interceptions significatives			
RBNAC0117	AC	391 989	1 190 224	383	135,0	-60,0	21	Pas d'interceptions significatives			
RBNAC0118	AC	391 994	1 190 219	383	135,0	-60,0	21	Pas d'interceptions significatives			
RBNAC0119	AC	391 999	1 190 215	383	135,0	-60,0	27	Pas d'interceptions significatives			
RBNAC0120	AC	392 005	1 190 206	383	135,0	-60,0	26	Pas d'interceptions significatives			
RBNAC0121	AC	392 013	1 190 199	384	135,0	-60,0	28	Pas d'interceptions significatives			
RBNAC0122	AC	392 022	1 190 192	384	135,0	-60,0	30	Pas d'interceptions significatives			

## ANNEXE 2 : RESULTATS DU FORAGE A PROXIMITE DES RESSOURCES

Trou n°	Type de trou	UTM 29N Est	UTM 29N Nord	RL (GPS)	Azimut du forage	Plongée dans le trou	Profondeur du trou	Coupure d'or à 0,5 g/t			
								À partir de	Intervalle	Au g/t	GM
<b>SB</b>											
BNEDD0256	DD	396 170	1 173 177	387	88,5	-56,2	252	4	4	0,75	3
								59,8	1,2	1,24	2
								126	2	2,03	4
								140	1	0,67	1
								145	2	0,85	2
								181	1	0,63	1
								188	1	0,56	1
								<b>195</b>	<b>8</b>	<b>1,12</b>	<b>9</b>
								219	1	1,36	1
								249	2	1,36	3
BNEDD0257A	DD	395 935	1 173 185	375	86,2	-80,3	401	20	1	1,43	1
								47,5	1	0,66	1
								89	2,56	2,40	6
								96	5	0,97	5
								105	1	0,88	1
								234	2	2,83	6
								381,5	3,5	0,78	3
BNEDD0258	DD	396 100	1 173 340	388	89,1	-56,4	310	<b>2,8</b>	<b>3</b>	<b>8,28</b>	<b>25</b>

Trou n°	Type de trou	UTM 29N Est	UTM 29N Nord	RL (GPS)	Azimut du forage	Plongée dans le trou	Profondeur du trou	Coupure d'or à 0,5 g/t			
								À partir de	Intervalle	Au g/t	GM
								8	7	0,86	6
								<b>19</b>	<b>7</b>	<b>1,51</b>	<b>11</b>
								142	1	1,74	2
								<b>244</b>	<b>9</b>	<b>1,38</b>	<b>12</b>

SEB											
BNEDD0254	DD	397 261	1 173 180	386	88,4	-56,4	400	42	1	1,00	1
								<b>194</b>	<b>2,9</b>	<b>14,50</b>	<b>42</b>
								213	1	0,66	1
								327	1	1,24	1
								354	1	0,90	1
BNEDD0255	DD	397 261	1 173 340	386	90,1	-57,3	411	294	1	0,60	1
BC Nord											
BCNRC0001	RC	392 659	1 174 399	427	90,5	-54,6	80	Pas d'interceptions significatives			
BCNRC0002	RC	392 714	1 174 401	426	89,2	-55,2	84	Pas d'interceptions significatives			
BCNRC0003	RC	392 763	1 174 399	423	89,2	-55,0	80	Pas d'interceptions significatives			
BCNRC0004	RC	392 813	1 174 397	419	93,1	-54,8	84	Pas d'interceptions significatives			
BCNRC0005	RC	392 860	1 174 400	416	90,7	-54,9	80	Pas d'interceptions significatives			
BCNRC0006	RC	392 914	1 174 399	412	91,6	-54,8	80	Pas d'interceptions significatives			
BCNRC0007	RC	392 963	1 174 399	409	92,1	-55,4	80	Pas d'interceptions significatives			
BCNRC0008	RC	393 013	1 174 399	405	91,5	-54,5	80	Pas d'interceptions significatives			
BCNRC0009	RC	392 924	1 174 599	413	88,0	-54,3	80	Pas d'interceptions significatives			
BCNRC0010	RC	392 970	1 174 603	408	88,7	-55,5	80	Pas d'interceptions significatives			
BCNRC0011	RC	393 020	1 174 601	406	90,5	-55,1	80	Pas d'interceptions significatives			
BCNRC0012	RC	393 071	1 174 601	400	89,2	-56,0	80	Pas d'interceptions significatives			
BCNRC0013	RC	393 122	1 174 599	395	90,1	-55,0	80	Pas d'interceptions significatives			
BCNRC0014	RC	392 671	1 174 601	419	90,3	-55,9	80	Pas d'interceptions significatives			
BCNRC0015	RC	392 723	1 174 601	416	89,1	-55,2	80	Pas d'interceptions significatives			
BCNRC0016	RC	392 767	1 174 599	419	90,8	-55,7	80	Pas d'interceptions significatives			
BCNRC0017	RC	392 803	1 174 598	418	89,9	-55,6	80	Pas d'interceptions significatives			
BCNRC0018	RC	392 861	1 174 597	414	89,8	-54,7	80	40	1	0,59	1
								60	1	0,62	1
BCNRC0019	RC	392 571	1 174 939	406	93,1	-55,1	80	Pas d'interceptions significatives			
BCNRC0020	RC	392 621	1 174 940	404	90,0	-54,7	80	Pas d'interceptions significatives			
BCNRC0021	RC	392 672	1 174 940	402	91,0	-56,1	80	66	1	0,88	1
BCNRC0022	RC	392 721	1 174 939	399	93,1	-55,1	80	Pas d'interceptions significatives			
BCNRC0023	RC	392 762	1 174 937	397	90,3	-53,8	80	Pas d'interceptions significatives			
BCNRC0024	RC	392 821	1 174 941	390	88,8	-54,0	80	Pas d'interceptions significatives			
BCNRC0025	RC	392 870	1 174 942	384	93,9	-54,2	80	<b>29</b>	<b>1</b>	<b>21,00</b>	<b>21</b>
BCNRC0026	RC	392 920	1 174 940	382	92,8	-55,0	80	9	3	1,32	4
								21	2	0,63	1
								28	1	0,59	1
BCNRC0027	RC	392 972	1 174 939	380	92,9	-55,2	80	Pas d'interceptions significatives			
BCNRC0029	RC	393 071	1 174 942	377	90,2	-54,6	80	Pas d'interceptions significatives			
BCNRC0030	RC	393 122	1 174 939	382	91,7	-55,3	80	Pas d'interceptions significatives			
BCNRC0031	RC	393 170	1 174 941	382	91,7	-57,2	80	Pas d'interceptions significatives			
BCNRC0032	RC	393 441	1 175 541	422	89,5	-55,5	80	37	1	0,54	1
BC East											
BCERC0010	RC	394 731	1 174 100	399	90,3	-55,1	90	Pas d'interceptions significatives			
BCERC0012	RC	394 230	1 174 301	393	87,7	-54,0	80	Pas d'interceptions significatives			
BCERC0013	RC	394 181	1 174 300	391	88,2	-53,8	81	Pas d'interceptions significatives			
BCERC0014A	RC	394 133	1 174 296	388	91,2	-54,4	80	Pas d'interceptions significatives			
BCERC0015	RC	394 081	1 174 300	386	90,1	-54,9	80	Pas d'interceptions significatives			
BCERC0016	RC	394 033	1 174 299	385	90,2	-55,1	80	Pas d'interceptions significatives			
BCERC0017	RC	393 982	1 174 299	383	93,5	-54,9	80	Pas d'interceptions significatives			
BCERC0018	RC	394 421	1 174 390	398	91,3	-55,0	80	Pas d'interceptions significatives			
BCERC0019	RC	394 470	1 174 389	398	92,7	-54,6	80	Pas d'interceptions significatives			
BCERC0020	RC	394 520	1 174 390	399	90,6	-55,0	80	Pas d'interceptions significatives			
BCERC0021	RC	394 572	1 174 390	399	91,8	-54,9	80	Pas d'interceptions significatives			
BCERC0022	RC	394 629	1 174 390	399	89,1	-55,4	80	Pas d'interceptions significatives			

## ANNEXE 3 : TABLEAU 1 CODE JORC

Section 1 : Techniques et données d'échantillonnage		
Critères	Explication du code JORC	Commentaire
<b>Technique d'échantillonnage</b>	<p>Nature et qualité de l'échantillonnage (p. ex., canaux coupés, copeaux aléatoires ou outils de mesure standard spécialisés spécifiques à l'industrie appropriés aux minéraux étudiés, tels que les sondes gamma en fond de puits ou les instruments XRF portables, etc.). Ces exemples ne doivent pas être considérés comme limitant le sens large de l'échantillonnage</p> <p>Inclure une référence aux mesures prises pour assurer la représentativité de l'échantillon et l'étalonnage approprié de tous les outils ou systèmes de mesure utilisés.</p> <p>Aspects de la détermination de la minéralisation qui sont importants pour le rapport public.</p> <p>Dans les cas où le travail « standard de l'industrie » a été effectué, cela serait relativement simple (par ex., « le forage à circulation inverse a été utilisé pour obtenir des échantillons de 1 m à partir desquels 3 kg ont été pulvérisés pour produire une charge de 30 g pour le test pyrognostique »). Dans d'autres cas, une explication plus approfondie peut être nécessaire, par exemple lorsqu'il y a de l'or grossier qui a des problèmes inhérents à l'échantillonnage. Des marchandises inhabituelles ou des types de minéralisation (p. ex. nodules sous-marins) peuvent justifier la divulgation d'informations détaillées.</p>	<p>Les échantillons analysés étaient des carottes de sondage carotté (« DD ») et à circulation inverse (« RC »).</p> <p>Le noyau a été coupé en deux avec une scie à carotte lorsqu'elle était adéquate et avec un couteau en saprolite douce dans les sections supérieures des trous DD.</p> <p>Les échantillons de copeaux RC d'un mètre étaient des échantillons de production fractionnés de riffle qui pesaient 2 à 3 kg pour soumission au laboratoire de test.</p> <p>Des échantillons de forage AC ont été prélevés à des intervalles de 1 m et soumis comme composites d'intervalle de 2 m. Pour chaque échantillon de 1 m, un sous-échantillon d'environ 1 à 1,5 kg a été divisé en riffles et combiné pour obtenir un échantillon « composite de 2 m » d'environ 2 à 3 kg pour les analyses de laboratoire.</p> <p>L'échantillonnage a été supervisé par des géologues qualifiés. La majorité des échantillons se trouvent à 1 m en fond de puits, les intervalles d'échantillonnage des carottes de sondage étant interrompus, le cas échéant, au niveau des contacts pétrographiques.</p> <p>Tous les échantillons ont été séchés, écrasés et pulvérisés au laboratoire SGS de Bamako pour produire une charge de test pyrognostique de 50 g avec Au analysé par FAA505. Des échantillons en double ont également été conservés pour un nouveau test.</p>
<b>Forage</b>	<p>Type de foret (par ex. carottage, circulation inverse, marteau à trou ouvert, soufflage à air rotatif, tarière, Bangka, sonique, etc.) et détails (par ex. diamètre de la carotte, tube triple ou standard, profondeur des queues de diamant, trépan d'échantillonnage de face ou autre type, si la carotte est orientée et, le cas échéant, par quelle méthode, etc.).</p>	<p>Les trous DD inclus dans cette annonce provenaient des plateformes suivantes : Sandvik DE710 DD, Sandvik DE710 DD, EDM2000 MP, Comacchio CXT15 MP et UDR200LS DD. Le sondage carotté était une combinaison de carottes PQ, HQ et NQ. La carotte a été orientée à l'aide des outils d'orientation WELLFORCE.</p> <p>Les trous RC inclus dans cette annonce provenaient des plateformes de montage sur camion multifonctions EDM 2000.</p> <p>Les trous AC inclus dans cette annonce ont été réalisés à l'aide d'engins de forage polyvalents EDM 2000.</p>
<b>Récupération des échantillons de forage</b>	<p>Méthode d'enregistrement et d'évaluation des récupérations d'échantillons de carotte et de copeaux et des résultats évalués.</p> <p>Mesures prises pour maximiser la récupération des échantillons et garantir leur nature représentative.</p> <p>Si une relation existe entre la récupération de l'échantillon et le grade et si un biais de l'échantillon peut avoir eu lieu en raison d'une perte/d'un gain préférentiel de matière fine/grossière.</p>	<p>Les récupérations de carottes ont été enregistrées en divisant la longueur totale des carottes ramenées de chaque passage par la longueur du passage. Les récupérations globales des carottes sont en moyenne d'environ 92 %, avec les récupérations les plus pauvres (82 % en moyenne) dans les 40 premiers m des trous de forage.</p> <p>La récupération RC globale est très bonne à 90 % dans la zone NEB et la récupération RC et AC est également à 90 % dans la zone Argo. Cependant, les échantillons du premier mètre présentent un taux de récupération inférieur à la moyenne en raison du processus de collage.</p> <p>Les trous de forage avec de mauvaises récupérations ont été reperçés dans un rayon d'environ 3 m du collier initial. Une régularité du schéma de récupération en fond de puits suggère un décalage considérable entre l'échantillon généré au marteau et le rapport au cyclone.</p> <p>Les foreurs ne respectent pas toujours les graduations en mètres sur le mât, ce qui entraîne des échantillons de surlongueur et de sous-longueur aléatoires.</p>

		<p>Les répartiteurs sont régulièrement vérifiés pour s'assurer que l'accumulation d'échantillons est minimisée.</p> <p>Aucune relation entre la récupération de l'échantillon et le grade n'a été analysée. Il est peu probable que la teneur des échantillons de forage RC ait été biaisée. Cependant, la combinaison de variations de poids d'échantillons survenant régulièrement et aléatoirement entraînera une dégradation de l'estimation de la teneur locale et un nombre de pépites plus élevé que prévu, ainsi qu'une inexactitude accrue dans la délimitation spatiale des limites des déchets de minerai.</p>
<b>Journalisation</b>	<p>Si les échantillons de carottes et de copeaux ont été géologiquement et géotechniquement consignés à un niveau de détail pour soutenir l'estimation appropriée des ressources minérales, les études minières et les études métallurgiques.</p> <p>Si la journalisation est qualitative ou quantitative par nature. Photographie de la carotte (ou costéenne/tranche, canal, etc.).</p> <p>La longueur totale et le pourcentage des intersections pertinentes enregistrées.</p>	<p>Tous les échantillons de forage ont fait l'objet d'un enregistrement systématique de la lithologie, l'altération météorique, altérations, le veinage, la structure et les minéraux mineurs. Les minéraux mineurs ont été estimés de manière quantitative. La personne compétente considère que la disponibilité d'une diagraphie qualitative et quantitative a permis d'étayer de manière appropriée la modélisation géologique, y compris les intempéries et l'oxydation, le niveau de la nappe phréatique et le type de roche.</p> <p>Des photographies ont été prises de chaque bac à carottes et de chaque bac à copeaux.</p> <p>Un dispositif d'orientation des carottes WELLFORCE a été utilisé sur les carottes forées, ce qui a permis de prendre des mesures structurelles orientées.</p> <p>La personne compétente considère que le niveau de détail est suffisant pour le signalement des Ressources minérales.</p>
<b>Technique de sous-échantillonnage et préparation des échantillons</b>	<p>S'il s'agit d'une carotte, qu'elle soit coupée ou sciée et qu'il s'agisse d'un quart, de la moitié ou de la totalité de la carotte.</p> <p>S'il ne s'agit pas d'une carotte, qu'il s'agisse d'un tube rifflé, d'un tube échantillonné, d'un diviseur rotatif, etc., et qu'il s'agisse d'un échantillon humide ou sec.</p> <p>Pour tous les types d'échantillons, la nature, la qualité et la pertinence de la technique de préparation des échantillons.</p> <p>Procédures de contrôle qualité adoptées pour toutes les étapes de sous-échantillonnage afin de maximiser la représentativité des échantillons.</p> <p>Mesures prises pour s'assurer que l'échantillonnage est représentatif du matériau in situ recueilli, y compris, par exemple, les résultats pour l'échantillonnage en double/deuxième moitié sur le terrain.</p> <p>Si la taille des échantillons est adaptée à la granulométrie du matériau échantillonné.</p>	<p>Les échantillons DD ont été prélevés en divisant longitudinalement la carotte à l'aide d'une scie à carotte ou d'un couteau lorsque la carotte était très molle et argileuse. Les échantillons de routine ont été prélevés sur des demi-carottes, et les doubles de carottes diamantées prédéterminées ont été prélevés sur des quarts de carotte. La méthode d'échantillonnage est considérée comme adéquate pour un programme DD de ce type.</p> <p>Les échantillons RC et AC ont été prélevés par fractionnement de 2 à 3 kg à partir d'échantillons en vrac de 1 m/30 kg prélevés directement sur le cyclone fixé à la plateforme de forage. La qualité et l'état de l'échantillon sont consignés de manière critique et toute perte d'intégrité de l'échantillon déclenchera l'arrêt immédiat du trou. Un champ aveugle est inséré dans le flux d'échantillon et dosé régulièrement. Les procédures d'échantillonnage sont conformes aux normes de l'industrie. Les poids des échantillons RC et AC sont enregistrés immédiatement après leur prélèvement dans le cyclone.</p> <p>Les résultats dupliqués sur le terrain n'ont montré aucun biais dans les résultats de l'échantillon.</p> <p>La dispersion considérable des paires de doubles diamants suggère que la minéralisation est susceptible d'être très variable à petite échelle, et cette variabilité doit être prise en compte lors de la planification de futurs programmes d'échantillonnage.</p> <p>Les tailles d'échantillon sont considérées comme appropriées à la taille du grain du matériau échantillonné.</p>

<p><b>Qualité des données de dosage et des tests de laboratoire</b></p>	<p>La nature, la qualité et la pertinence des tests et des procédures de laboratoire utilisés et si la technique est considérée comme partielle ou totale.</p> <p>Pour les outils géophysiques, les spectromètres, les instruments XRF portables, etc., les paramètres utilisés pour déterminer l'analyse, y compris la marque et le modèle de l'instrument, les temps de lecture, les facteurs d'étalonnage appliqués et leur dérivation, etc.</p> <p>Nature des procédures de contrôle qualité adoptées (par ex. normes, blancs, doublons, contrôles de laboratoire externes) et si des niveaux acceptables de précision (c.-à-d. absence de biais) et de précision ont été établis.</p>	<p>Tous les échantillons ont été dosés par SGS. L'analyse aurifère est réalisée par technique de test pyrognostique avec une limite de détection inférieure de 5 ppb Au. Tous les échantillons avec des valeurs d'or supérieures à 10 g/t Au ont été retestés à l'aide de la méthode SGS FAA515 avec une limite de détection de 0,01 g/t Au.</p> <p>Les doublons de terrain, les étalons et les échantillons vierges ont été soumis dans l'ordre, tous les 15 échantillons.</p> <p>Les carottes de sondage en double ont été obtenues en coupant le demi-échantillon de carotte en deux quarts d'échantillon de carotte. Comme les échantillons ne sont pas homogénéisés, une certaine variation est attendue.</p> <p>Les doublons et les normes analysées étaient tous dans les limites acceptables des valeurs attendues.</p> <p>L'analyse de ces données QAQC a démontré que les données DD/RC sont de qualité acceptable à utiliser pour l'estimation des ressources minérales.</p>
<p><b>Vérification de l'échantillonnage et du dosage</b></p>	<p>La vérification des intersections importantes par le personnel indépendant ou alternatif de la société.</p> <p>L'utilisation de trous jumelés.</p> <p>La vérification des intersections importantes par le personnel indépendant ou alternatif de la société.</p> <p>Discuter de tout ajustement des données de dosage.</p>	<p>À ce stade, les intersections n'ont pas été vérifiées de manière indépendante.</p> <p>Un certain nombre de trous DD ont été réalisés suffisamment près des trous précédemment percés pour confirmer l'emplacement de la minéralisation.</p> <p>Aucun trou double n'a été effectué pour le forage RC ou AC.</p> <p>La journalisation des forages est réalisée sur des feuilles de papier et saisie manuellement dans une base de données sur site. Les données sont gérées par un employé de la société qui vérifie la validation des données. Les résultats du test sont renvoyés électroniquement par le laboratoire de test et sont fusionnés dans la table de test de la base de données.</p> <p>Aucun ajustement ou correction n'a été apporté aux données d'intervalle de dosage. Toutes les interceptions sont signalées comme forées</p>
<p><b>Emplacement des points de données</b></p>	<p>Précision et qualité des relevés utilisés pour localiser les trous de forage (colliers et relevés de trous descendants), les tranchées, les travaux miniers et autres emplacements utilisés dans l'estimation des ressources minérales.</p> <p>Spécification du système de grille utilisé.</p> <p>Qualité et adéquation du contrôle topographique.</p>	<p>Toutes les informations relatives à l'étude des trous de forage de surface sont recueillies en interne à l'aide d'un système Leica 18T RTK DGPS. La grille d'étude de projet est liée à la référence GEOID d'Afrique de l'Ouest et à la projection WGS84 Zone 29N.</p> <p>Tous les trous DD et RC ont été étudiés à l'aide du gyroscope WELLFORCE CHAMP à visée nord.</p>
<p><b>Espacement et distribution des données</b></p>	<p>Espacement des données pour le rapport des résultats d'exploration.</p> <p>Si l'espacement et la distribution des données sont suffisants pour établir le degré de continuité géologique et de teneur approprié pour la ou les procédure(s) d'estimation des ressources minérales et de la réserve de minerai et les classifications appliquées.</p> <p>Si le compositing des échantillons a été appliqué.</p>	<p>NEB : Le gisement a été foré principalement sur un espacement de 80 m x 40 m, ce qui permet d'estimer les ressources minérales indiquées. L'espacement des forages est limité à certaines zones (comme la profondeur) et ne prend en charge qu'une ressource minérale présumée. Un programme détaillé de contrôle de qualité RC incliné de 10 m x 10 m a été réalisé sur une section de 100 m de la veine minéralisée de la carotte de surface.</p> <p>BC : L'espacement des forages varie de 40 m par 40 m à plus de 80 m au fond du gisement. Ces résultats confirment l'existence d'une ressource minérale indiquée dans la partie centrale des 70 mètres supérieurs du gisement. À des niveaux plus profonds, un forage supplémentaire est nécessaire et la ressource minérale est classée comme étant présumée.</p> <p>Autre/Argo : Les trous de forage RC et AC de première passe signalés ici ont été planifiés sur des cibles spécifiques comme des anomalies de tarière et n'ont pas toujours suivi une grille définie. En général, pour les forages RC, un espacement minimum de 80 m en vue en plan et de 40 à 50 m entre les trous sur les sections a été adopté.</p>

		L'espacement des trous AC dépend de leur profondeur (refus de lame) pour assurer une couverture appropriée.
<b>Orientation des données par rapport à la structure géologique</b>	<p>Si l'orientation de l'échantillonnage permet d'obtenir un échantillonnage impartial des structures possibles et dans quelle mesure cela est connu, en tenant compte du type de dépôt.</p> <p>Si la relation entre l'orientation du forage et l'orientation des principales structures minéralisées est considérée comme ayant introduit un biais d'échantillonnage, cela doit être évalué et signalé s'il s'agit d'un matériau.</p>	<p>NEB : La plupart des forages effectués à NEB sont orientés aussi près que possible de l'axe de plongée et de direction de la minéralisation. Les premiers programmes de forage étaient orientés vers l'ouest. Lorsqu'il a été reconnu que la minéralisation pendait vers l'ouest, l'orientation du forage a été changée vers l'est et la plupart des zones ont été reforées. Une analyse des données des trous de trempage est et ouest a montré :</p> <ul style="list-style-type: none"> <li>• La moyenne et la médiane des trous à pendage ouest sont plus élevées que celles des trous à pendage est dans la saprolite ;</li> <li>• Dans la saprolite, les composites dans les trous à pendage ouest sont plus variables ;</li> <li>• Les trous à pendage ouest dans la saprolite ont une population plus importante &gt; 2 g/t ;</li> <li>• La moyenne et la médiane des trous à pendage ouest sont inférieures à celles des trous à pendage est dans le frais ;</li> <li>• Dans la saprolite, les composites dans les trous à pendage ouest sont moins variables.</li> </ul> <p>Les données de plongée ouest ont été filtrées à partir de l'ensemble de données composites avant de poursuivre le traitement, à l'exception du domaine de latérite.</p> <p>BC : La récente réinterprétation suggère que les trous à pendage est sont plus susceptibles d'intersecter la minéralisation de manière orthogonale. L'analyse de l'effet de l'orientation du forage sera effectuée une fois que tous les résultats du forage actuel auront été reçus.</p> <p>Autres cibles de zone NEB : La majeure partie du forage à 800W/SEB/SB est orientée le plus près possible de l'orthogonale du pendage et de l'orientation de la minéralisation. Le forage à d'autres cibles est à un stade plus précoce et la géométrie de la minéralisation est actuellement inconnue.</p> <p>Argo : Les trous de forage ont été positionnés à l'aide des informations géophysiques recueillies à partir de l'enquête récente sur la propriété intellectuelle et des résultats de tarière. Ils sont positionnés perpendiculairement aux principales tendances géophysiques/géochimiques. Des trous en ciseaux ont été percés dans certaines zones pour vérifier l'orientation des structures.</p>
<b>Sécurité des échantillons</b>	Les mesures prises pour assurer la sécurité des échantillons.	Les échantillons sont stockés dans un endroit protégé à proximité du village de Bankan. Les échantillons sont récupérés et transportés à Bamako par le camion SGS. Les rejets grossiers et les pâtes seront finalement récupérés du SGS et stockés dans le bureau de PDI à Kouroussa ou dans le dépôt principal.
<b>Audits ou examens</b>	Les résultats de tout audit ou examen des techniques et données d'échantillonnage.	CSA a examiné les techniques d'échantillonnage et les procédures de la chaîne de contrôle du projet.

## Section 2 Rapport des résultats d'exploration

<b>Tenement minéral et statut foncier</b>	Type, nom/numéro de référence, emplacement et propriété, y compris les accords ou problèmes importants avec des tiers tels que les coentreprises, les partenariats, les redevances prépondérantes, les intérêts de titre natif, les sites historiques, les zones sauvages ou les parcs nationaux et les environnements environnementaux.	<p>Le projet Bankan Gold est composé de quatre <i>permis de recherche Industrielle (ou)</i> comme suit :</p> <table border="1"> <thead> <tr> <th>Nom du permis</th> <th>Surface (km<sup>2</sup>)</th> <th>Support</th> </tr> </thead> <tbody> <tr> <td>Kaninko</td> <td>98,2158</td> <td>Ressources Mamou SARLU</td> </tr> <tr> <td>Saman</td> <td>99,74845</td> <td>Ressources Mamou SARLU</td> </tr> </tbody> </table>	Nom du permis	Surface (km <sup>2</sup> )	Support	Kaninko	98,2158	Ressources Mamou SARLU	Saman	99,74845	Ressources Mamou SARLU
Nom du permis	Surface (km <sup>2</sup> )	Support									
Kaninko	98,2158	Ressources Mamou SARLU									
Saman	99,74845	Ressources Mamou SARLU									

	<p>La sécurité du mandat détenu au moment de la déclaration ainsi que tout obstacle connu à l'obtention d'une licence d'exploitation dans la zone.</p>	<table border="1" data-bbox="903 320 1505 376"> <tr> <td>Bokoro</td> <td>99,9785</td> <td>Ressources Kindia SARLU</td> </tr> <tr> <td>Argo</td> <td>57,5422</td> <td>Argo Mining SARLU</td> </tr> </table> <p>Les permis sont situés entre 9°51'00"W et 10°03'24"W et entre 10°32'26"N et 10°52'00"N, situés au nord-ouest, ouest et sud-ouest de la ville de Kouroussa en Guinée.</p> <p>Les permis Kaninko, Saman et Bokoro sont détenus par des filiales détenues à 100 % par PDI. Le permis Argo est soumis à une coentreprise au sein de la société de portefeuille australienne enregistrée d'Argo Mining SARLU, par laquelle PDI peut gagner progressivement 90 % de la société de portefeuille par paiement de 100 000 USD et acquerra les 10 % restants lors d'une décision d'exploitation minière en échange d'une redevance de fonderie nette de 2 % sur la production. La date d'expiration du permis Argo est dépassée, mais PDI a soumis des documents de renouvellement qui ont été enregistrés par le Ministère et sont en cours.</p> <p>Certaines parties des permis Kaninko et Saman, y compris les gisements NEB et BC, sont situées dans la Zone tampon 2 du Parc national du Niger supérieur.</p> <p>L'agriculture et d'autres activités à usage multiple sont autorisées dans la Zone tampon 2, mais en l'absence de tout changement de décret, l'extraction de gisements minéraux n'est pas autorisée. Cependant, il existe des précédents en Guinée pour l'octroi de permis miniers dans des zones sensibles pour l'environnement (par ex. à l'intérieur et à côté du site du patrimoine mondial du Mont Nimba). PDI mène actuellement des études de développement durable détaillées (y compris une évaluation de l'impact environnemental et social) et une étude de préfaisabilité pour faciliter le processus d'autorisation pour le projet.</p>	Bokoro	99,9785	Ressources Kindia SARLU	Argo	57,5422	Argo Mining SARLU
Bokoro	99,9785	Ressources Kindia SARLU						
Argo	57,5422	Argo Mining SARLU						
<p><b>Exploration effectuée par d'autres parties</b></p>	<p>Reconnaissance et évaluation de l'exploration par d'autres parties.</p>	<p>PDI n'a connaissance d'aucune exploration antérieure significative de l'or sur la zone NEB/BC.</p> <p>Des travaux d'exploration antérieurs ont été réalisés dans la zone d'Argo par Cassidy Gold, y compris l'échantillonnage des sols, le forage AC et RC.</p> <p>Les mineurs artisanaux ont extrait une quantité inconnue d'or à partir de puits peu profonds creusés à la main, avec l'utilisation de la batée et de l'écume pour identifier les zones minéralisées.</p>						
<p><b>Géologie</b></p>	<p>Type de gisement, contexte géologique et style de minéralisation.</p>	<p>Les gisements de Bankan sont hébergés dans les roches paléoprotérozoïques du Supergroupe birimien dans le bassin de Siguiri, qui abrite plusieurs grandes opérations minières actives importantes.</p> <p>Les types de roches prédominants sont constitués d'intrusions felsiques, notamment le granite et la tonalite, avec des volcaniques et des intrusifs mafiques à intermédiaires. Des métasédiments comprenant du marbre, du chert et des schistes ont également été observés.</p> <p>L'altération météorique a formé un profil saprolite profond, avec une couverture latéritique pisolitique et nodulaire qui contient de l'or remobilisé, généralement au-dessus des gisements primaires ou dispersé de quelques dizaines de mètres latéralement.</p> <p>NEB : La minéralisation consiste en de larges zones d'altération structurellement contrôlée de la chlorite, de la silice et de la séricite avec des veines de pyrite et de quartz associées, placées pendant la déformation des cisaillements nord-sud anastomosants sur la paroi suspendue d'une intrusion felsique tonalitique, qui a intrus une séquence de pierres vertes mafique et sédimentaire. La minéralisation se trouve en grande partie dans un couloir entre deux cisaillements à pendage modéré vers l'ouest (les cisaillements principaux et orientaux) avec des structures de liaison de trempage moins</p>						

		<p>profondes. La minéralisation est développée de préférence au niveau du cisaillement principal, notamment autour du contact entre la tonalite du mur et le package mafic/métasédiment recouvrant. Les teneurs les plus élevées se trouvent dans un filon plongeant abruptement vers le sud-ouest ; un deuxième filon à haute teneur en aval du filon principal a été identifié par cinq sondages et constitue la cible des forages d'extension en cours.</p> <p>BC : BC est une intrusion de tonalite dans le carbonate sédimentaire, générant une fuite au contact entre l'intrusion et la roche hôte par réaction métasomatique. Cette intrusion est bordée par un couloir de déformation à l'est (mur), qui suit généralement le contact entre le métasédiment et l'intrusion, et à l'ouest par une zone de cisaillement en mur suspendu au niveau du contact entre la granodiorite et le métasédiment. L'altération du faciès skarn s'est développée le long de ces deux contacts déformés à partir de fluides hydrothermaux magmatiques. L'altération silicique associée est porteuse de minéralisation aurifère. L'expression de ces événements est variée dans la carotte (veines de quartz massif, veines de quartz bréchifiées, veines de quartz cisailées, veines de quartz en stockwork, surimpression de silice, etc.) Les principaux minéraux du skarn sont le grenat, l'épidote et la chlorite, avec de rares pyroxènes et amphiboles. Le carbonate sédimentaire de la paroi du mur présente une forte déformation, y compris des plis.</p> <p>800W : 800W consiste en une série de zones minéralisées se développant le long de zones de déformation parallèles et plongeant vers le nord-ouest dans une roche hôte intrusive.</p>
<p><b>Informations sur le trou de forage</b></p>	<p>Un résumé de toutes les informations importantes pour la compréhension des résultats de l'exploration, y compris un tableau des informations suivantes pour tous les trous de forage importants :</p> <ul style="list-style-type: none"> <li>• l'est et le nord du collier du trou de forage</li> <li>• élévation ou RL (Niveau réduit – élévation au-dessus du niveau de la mer en mètres) du collier du trou de forage</li> <li>• le pendage et l'azimut du trou</li> <li>• longueur du fond de trou et profondeur d'interception</li> <li>• longueur du trou.</li> </ul> <p>Si la suppression de ces informations est justifiée par le fait qu'elles ne sont pas importantes et que cette suppression ne nuit pas à la compréhension du rapport, la personne compétente doit en expliquer clairement les raisons.</p>	<p>Voir Annexe 1 à Annexe 2.</p>
<p><b>Méthodes d'agrégation des données</b></p>	<p>Dans les rapports sur les résultats de l'exploration, les techniques de pondération, les troncatures des teneurs maximales et/ou minimales (par exemple, la coupure des teneurs élevées) et les teneurs de coupure sont généralement importantes et doivent être indiquées.</p> <p>Lorsque les intercepts agrégés comprennent de courtes longueurs de résultats à haute teneur et de plus longues longueurs de résultats à faible teneur, la procédure utilisée pour cette agrégation doit être indiquée et quelques exemples typiques de ces agrégations doivent être montrés en détail.</p> <p>Les hypothèses utilisées pour toute déclaration de valeurs équivalentes en métal doivent être clairement indiquées.</p>	<p>L'échantillonnage s'est généralement fait à intervalles d'un mètre.</p> <p>Jusqu'à 2 m (en fond de trou) de déchets internes sont inclus pour les résultats rapportés à la teneur de coupure Au de 0,5 g/t.</p> <p>Les intervalles minéralisés sont rapportés sur la base d'une moyenne pondérée.</p>
<p><b>Relation entre les largeurs de minéralisation et les longueurs d'interception</b></p>	<p>Ces relations sont particulièrement importantes dans le rapport des résultats d'exploration</p> <p>Si la géométrie de la minéralisation par rapport à l'angle du trou de forage est connue, sa nature doit être rapportée.</p> <p>Si elle n'est pas connue et que seules les longueurs de fond de trou sont indiquées, une mention claire doit figurer à cet</p>	<p>NEB : La campagne de forage cible orthogonalement le filon minéralisé NEB à pendage ouest, typiquement à un pendage de -55°, avec des sections de 40 m et des trous espacés de 80 m. Les intercepts sont aussi proches de la largeur réelle que physiquement possible.</p>

	<p>effet (par ex. « longueur de fond de trou, largeur réelle non connue »).</p>	<p>BC : Les forages ciblent des filons minéralisés à pendage sud-ouest, orthogonalement, avec un pendage de -55 et des forages espacés de 40 m x 40 m. Les intercepts sont très proches de la réalité.</p> <p>Autres cibles de zone NEB : Les premiers trous de forage sont généralement inclinés à 55° vers l'est, afin de cibler les structures minéralisées qui semblent plonger vers l'ouest et se développer le long d'un axe généralement N-S. Le pendage de ces différentes structures minéralisées semble varier entre 45° et 60°, ce qui implique une longueur d'interception en fond de trou de l'épaisseur réelle.</p> <p>Argo : Les trous de forage sont généralement inclinés à 60°. Au cours d'un premier programme RC, les pendages des tendances minéralisées ne sont pas encore bien définis. Sur les premières sections disponibles, il semble varier d'une épaisseur subverticale à Tindini (impliquant une épaisseur réelle d'environ la moitié de la longueur d'interception en fond de trou) à un pendage d'environ 50° à 60° à Sounsoun, Fouwagbe et Naladioulou (impliquant une longueur d'interception en fond de trou de l'épaisseur réelle).</p>
<b>Diagrammes</b>	<p>Des cartes et sections appropriées (avec échelles) et des tableaux d'interception doivent être inclus pour toute découverte significative signalée. Elles doivent inclure, sans s'y limiter, une vue en plan de l'emplacement des colliers de trou de forage et des vues en coupe appropriées.</p>	<p>Les cartes et sections appropriées sont incluses dans cette version.</p>
<b>Rapports équilibrés</b>	<p>Lorsqu'il n'est pas possible d'établir un rapport complet de tous les résultats d'exploration, il convient d'établir un rapport représentatif des teneurs et/ou des largeurs faibles et élevées afin d'éviter d'induire en erreur les résultats d'exploration.</p>	<p>Un rapport complet des résultats de forage est fourni dans l'Annexe 1 à l'Annexe 2.</p>
<b>Autres données d'exploration substantielles</b>	<p>D'autres données d'exploration, si elles sont significatives et importantes, doivent être rapportées, y compris (mais sans s'y limiter) : observations géologiques ; résultats de l'étude géophysique ; résultats de l'étude géochimique ; échantillons en vrac – taille et méthode de traitement ; résultats des tests métallurgiques ; densité en vrac, caractéristiques des eaux souterraines, géotechniques et rocheuses ; substances potentiellement délétères ou contaminants.</p>	<p>Toutes les autres données d'exploration sur cette zone ont été précédemment rapportées par PDI.</p>
<b>Travail supplémentaire</b>	<p>La nature et l'échelle des travaux ultérieurs prévus (par ex., tests pour les extensions latérales ou forages progressifs à grande échelle.</p> <p>Les diagrammes mettent clairement en évidence les zones d'extensions possibles, y compris les principales interprétations géologiques et les zones de forage futures, à condition que ces informations ne soient pas commercialement sensibles.</p>	<p>Reportez-vous au texte de l'annonce pour obtenir des informations sur le suivi et/ou les programmes de travail suivants.</p>